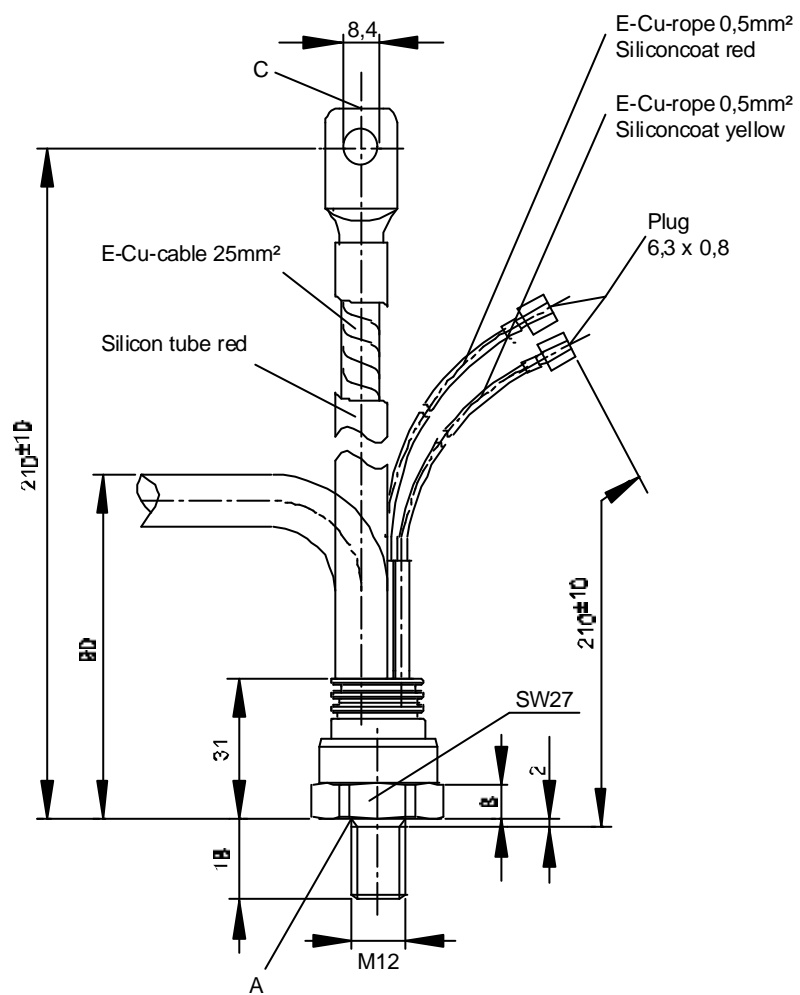




European Power-
Semiconductor and
Electronic Company

Marketing Information T 86 N



T 86 N

Elektrische Eigenschaften

Höchstzulässige Werte

Periodische Vorwärts- und Rückwärts-Spitzenperrspannung

Vorwärts-Stoßspitzenperrspannung

Rückwärts-Stoßspitzenperrspannung

Durchlaßstrom-Grenzeffektivwert

Dauergrenzstrom

Stoßstrom-Grenzwert

Grenzlastintegral

Kritische Stromsteilheit

Kritische Spannungssteilheit

Electrical properties

Maximum rated values

repetitive peak forward off-state and reverse voltages

$$t_{vj} = -40^\circ\text{C} \dots t_{vj \max}$$

V_{DRM}, V_{RRM}

600	800	1000	1200	
1400	1600	1800*		

V

non-repetitive peak forward off-state voltage

$$t_{vj} = -40^\circ\text{C} \dots t_{vj \max}$$

$V_{DSM} = V_{DRM}$

600	800	1000	1200	
1400	1600	1800*		

V

non-repetitive peak reverse voltage

$$t_{vj} = +25^\circ\text{C} \dots t_{vj \max}$$

$V_{RSM} = V_{RRM}$

700	900	1100	1300	
1500	1700	1900		

V

Durchlaßstrom-Grenzeffektivwert

RMS on-state current

I_{TRMSM}

200			
-----	--	--	--

A

Dauergrenzstrom

average on-state current

I_{TAVM}

86			
----	--	--	--

A

Stoßstrom-Grenzwert

surge current

$$t_c = 85^\circ\text{C}$$

I_{TSM}

127			
-----	--	--	--

A

Grenzlastintegral

$I^2 t$ -value

$$t_{vj} = 25^\circ\text{C}, t_p = 10 \text{ ms}$$

$I^2 t$

2300			
------	--	--	--

A

Kritische Stromsteilheit

critical rate of rise of on-state current

$$t_{vj} = t_{vj \max}, t_p = 10 \text{ ms}$$

$(di_T/dt)_{cr}$

2000			
------	--	--	--

A

Kritische Spannungssteilheit

critical rate of rise of off-state voltage

$$t_{vj} = t_{vj \ max}, V_D = 67\% V_{DRM}$$

$(dv/dt)_{cr}$

20000			
-------	--	--	--

A

Durchlaßspannung

on-state voltage

$$t_{vj} = t_{vj \ max}, i_T = 400 \text{ A}$$

V_T

max. 1,99			
-----------	--	--	--

V

Schleusenspannung

threshold voltage

$$t_{vj} = t_{vj \ max}$$

$V_{T(TO)}$

1			
---	--	--	--

V

Ersatzwiderstand

slope resistance

$$t_{vj} = t_{vj \ max}$$

r_T

2,6			
-----	--	--	--

mΩ

Zündstrom

gate trigger current

$$t_{vj} = 25^\circ\text{C}, V_D = 6 \text{ V}$$

I_{GT}

max. 150			
----------	--	--	--

mA

Zündspannung

gate trigger voltage

$$t_{vj} = 25^\circ\text{C}, V_D = 6 \text{ V}$$

V_{GT}

max. 1,4			
----------	--	--	--

V

Nicht zündender Steuerstrom

gate non-trigger current

$$t_{vj} = t_{vj \ max}, V_D = 6 \text{ V}$$

I_{GD}

max. 5			
--------	--	--	--

mA

Nicht zündende Steuerspannung

gate non-trigger voltage

$$t_{vj} = t_{vj \ max}, V_D = 0,5 V_{DRM}$$

V_{GD}

max. 0,2			
----------	--	--	--

V

Haltestrom

holding current

$$t_{vj} = 25^\circ\text{C}, V_D = 6 \text{ V}, R_A = 5 \Omega$$

I_H

max. 200			
----------	--	--	--

mA

Einraststrom

latching current

$$t_{vj} = 25^\circ\text{C}, V_D = 6 \text{ V}, R_{GK} \geq 10 \Omega$$

I_L

max. 620			
----------	--	--	--

mA

Vorwärts- und Rückwärts-Sperrstrom

forward off-state and reverse currents

$$t_{vj} = t_{vj \ max}, V_D = V_{DRM}, V_R = V_{RRM}$$

i_D, i_R

max. 25			
---------	--	--	--

mA

Zündverzug

gate controlled delay time

$$t_{vj} = 25^\circ\text{C}, i_{GM} = 0,6 \text{ A}, di_G/dt = 0,6 \text{ A}/\mu\text{s}$$

t_{gd}

max. 3			
--------	--	--	--

μs

Freiwerdezeit

circuit commutated turn-off time

$$t_q \text{ siehe Techn. Erl./see Techn. Inf.}$$

t_q

typ. 200			
----------	--	--	--

μs

Thermische Eigenschaften

Innerer Wärmewiderstand

thermal resistance, junction to case

$$\Theta = 180^\circ \text{ el, sin}$$

R_{thJC}

max. 0,3			
----------	--	--	--

°C/W

Höchstzul. Sperrschiichttemperatur

max. junction temperature

$$DC$$

max. 0,28

--	--	--	--

°C/W

Betriebstemperatur

operating temperature

$$t_{vj \ max}$$

125

--	--	--	--

°C

Lagertemperatur

storage temperature

$$t_{c \ op}$$

-40...+125

--	--	--	--

°C

$$t_{stg}$$

-40...+130

--	--	--	--

°C

Mechanische Eigenschaften

Mechanical properties

Si-Elemente mit Druckkontakt

Si-pellet with pressure contact

Anzugsdrehmoment

tightening torque

$$M$$

20

--	--	--	--

Nm

Gewicht, Bauform E

weight, case design E

$$G$$

typ. 180

--	--	--	--

g

Kriechstrecke

creepage distance

$$8$$

--	--	--	--

mm

Feuchtekategorie

humidity classification

$$DIN 40040$$

C

Schwingfestigkeit

vibration resistance

$$f = 50 \text{ Hz}$$

50

--	--	--	--

m/s²

Maßbild, anliegend

outline, attached

$$DIN 41 892-204B3$$

* Für größere Stückzahlen Liefertermin erfragen / Delivery for larger quantities on request

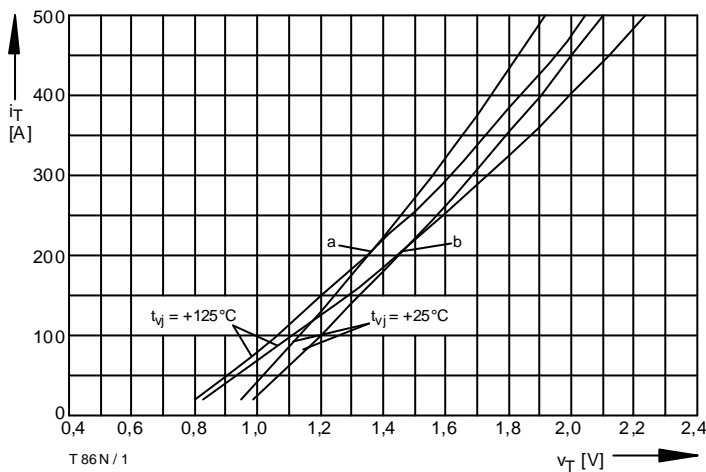


Bild / Fig. 1

Durchlaßkennlinie / On-state characteristic $i_T = f(v_T)$
 a - Typische Kennlinien / typical characteristics
 b - Grenzkennlinien / limiting characteristics

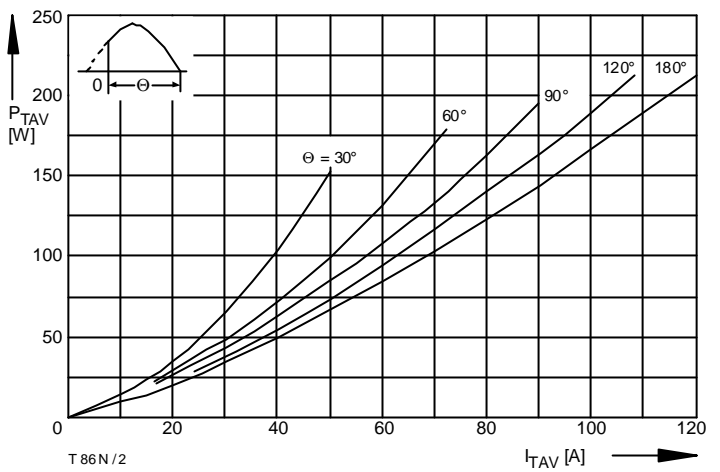


Bild / Fig. 2

Durchlaßverlustleistung / On-state power loss $P_{TAV} = f(I_{TAVM})$
 Parameter: Stromflußwinkel / Current conduction angle θ

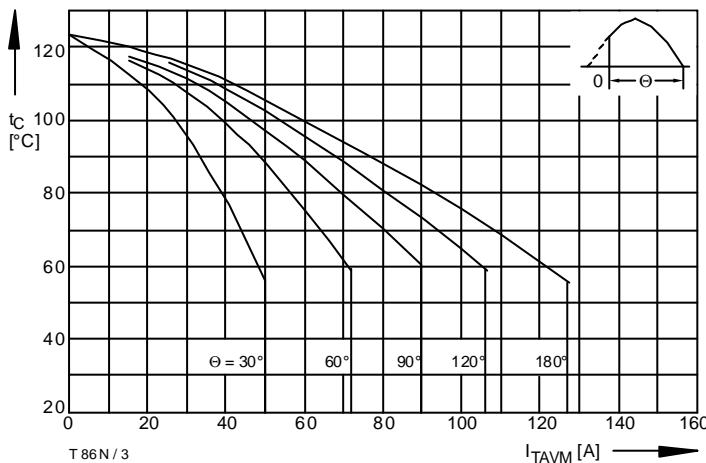


Bild / Fig. 3

Höchstzulässige Gehäusetemperatur / Max. allowable case temperature
 $t_C = f(I_{TAVM})$
 Beidseitige Kühlung / Two-sided cooling
 Parameter: Stromflußwinkel / Current conduction angle θ

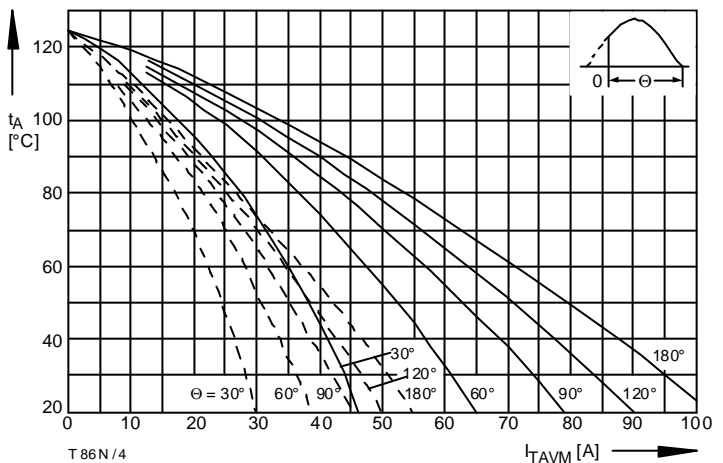


Bild / Fig. 4

Höchstzulässige Kühlmitteltemperatur / Max. allowable cooling medium temperature $t_A = f(I_{TAVM})$
 Kühlkörper / Heatsink: K1.1-M12A
 ----- Luftsebkühlung / Natural air-cooling
 —— Verstärkte Luftkühlung / Forced air-cooling, $V_L = 30 \text{ l/s}$
 Parameter: Stromflußwinkel / Current conduction angle θ

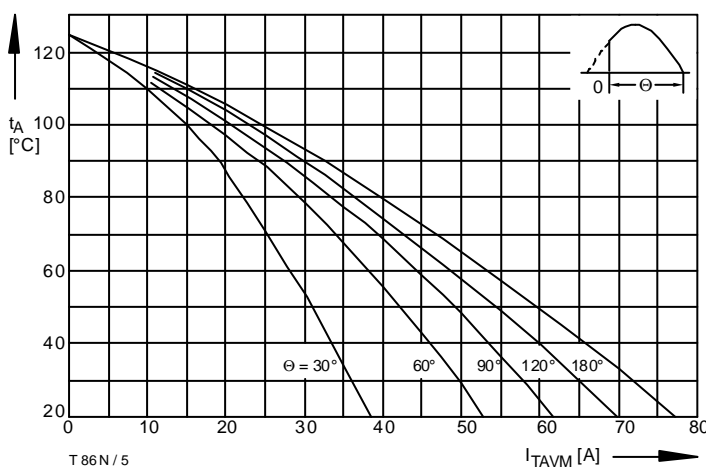


Bild / Fig. 5

Höchstzulässige Kühlmitteltemperatur / Max. allowable cooling medium temperature $t_A = f(I_{TAVM})$
 Luftsselfkühlung / Natural air-cooling
 Kühlkörper / Heatsink: K0.55-M12-A
 Parameter: Stromflußwinkel / Current conduction angle θ

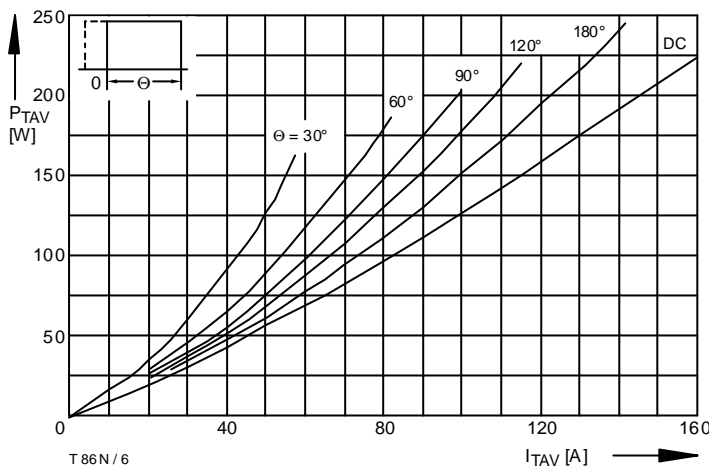


Bild / Fig. 6
Durchlaßverlustleistung / On-state power loss $P_{TAV} = f(I_{TAV})$
Parameter: Stromflußwinkel / Current conduction angle θ

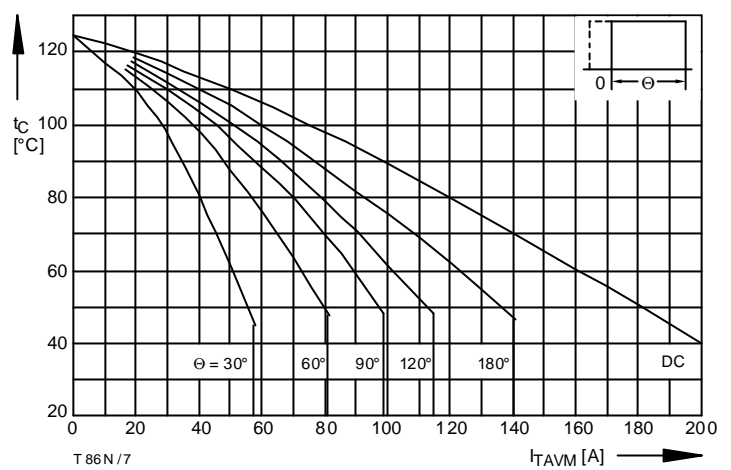


Bild / Fig. 7
Höchstzulässige Gehäusetemperatur / Max. allowable case temperature $t_C = f(I_{TAVM})$
Beidseitige Kühlung / Two-sided cooling
Parameter: Stromflußwinkel / Current conduction angle θ

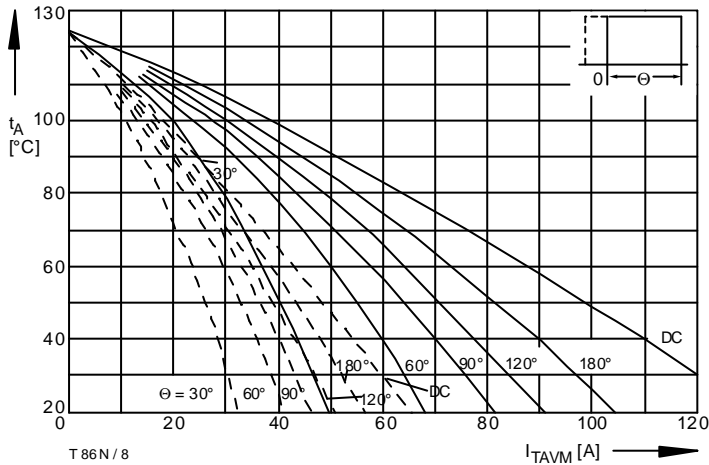


Bild / Fig. 8
Höchstzulässige Kühlmittelttemperatur / Max. allowable cooling medium temperature $t_A = f(I_{TAVM})$
Kühlkörper / Heatsink: K1.1-M12A
---- Luftselbstkühlung / Natural air-cooling
— Verstärkte Luftkühlung / Forced air-cooling, $V_L = 30$ l/s
Parameter: Stromflußwinkel / Current conduction angle θ

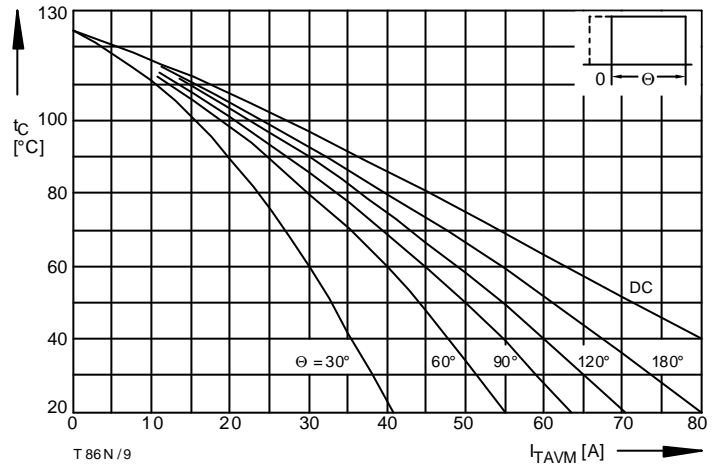


Bild / Fig. 9
Höchstzulässige Kühlmittelttemperatur / Max. allowable cooling medium temperature $t_A = f(I_{TAVM})$
Luftselbstkühlung / Natural air-cooling
Kühlkörper / Heatsink: K0.55-M12-A
Parameter: Stromflußwinkel / Current conduction angle θ

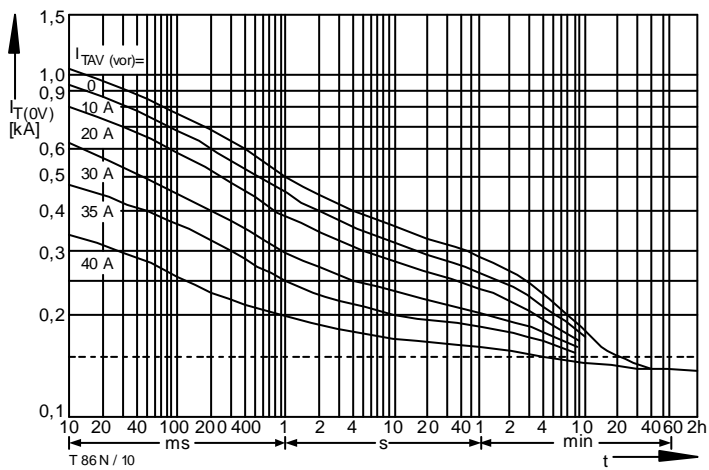


Bild / Fig. 10
Überstrom / Overload on-state current $I_{T(OV)} = f(t)$
Luftselbstkühlung / Natural air-cooling $t_A = 45^\circ\text{C}$
Kühlkörper / Heatsink: K1.1-M12-A
Parameter: Vorlaststrom / Pre-load current $I_{TAV(vor)}$

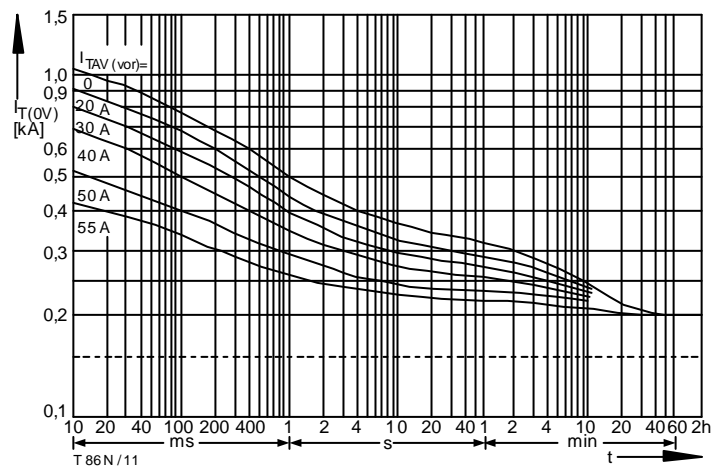


Bild / Fig. 11
Überstrom / Overload on-state current $I_{T(OV)} = f(t)$
Luftselbstkühlung / Natural air-cooling $t_A = 45^\circ\text{C}$
Kühlkörper / Heatsink: K0.55-M12-A
Parameter: Vorlaststrom / Pre-load current $I_{TAV(vor)}$

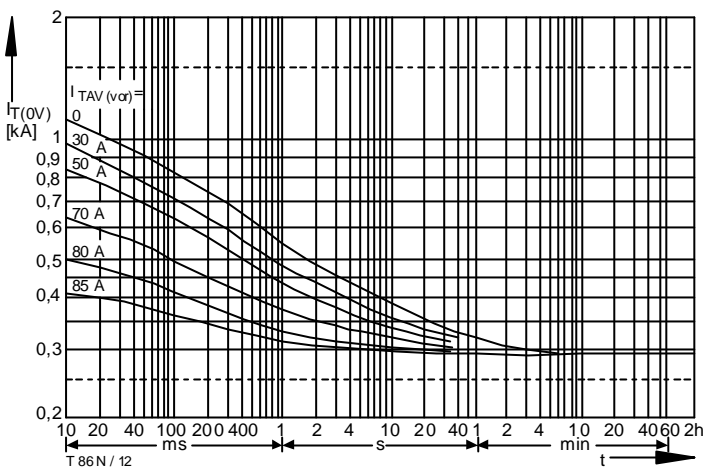


Bild / Fig. 12

Überstrom / Overload on-state current $I_{T(OV)} = f(t)$
 Verstärkte Luftkühlung / Forced air-cooling, $t_A = 35^\circ\text{C}$
 Kühlkörper / Heatsink: K1.1-M12-A, $V_L = 30 \text{ l/s}$
 Parameter: Vorlaststrom / Pre-load current $I_{TAV(\text{vor})}$

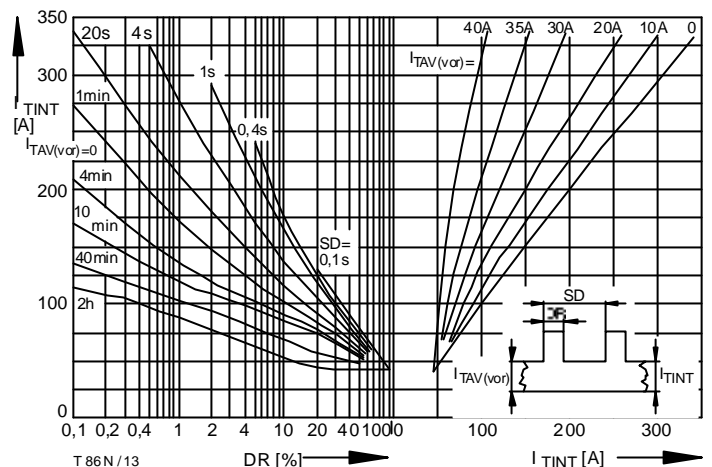


Bild / Fig. 13

Höchstzulässiger Durchlaßstrom bei Aussetzbetrieb / Max. allowable on-state current at intermittent operation $I_{TINT} = f(ED)$
 Luftseltbstkühlung / Natural air-cooling, $t_A = 45^\circ\text{C}$
 Kühlkörper / Heatsink: K1.1-M12-A
 Parameter: Spieldauer / Cycle duration SD
 Vorlaststrom / Pre-load current $I_{TAV(\text{vor})}$

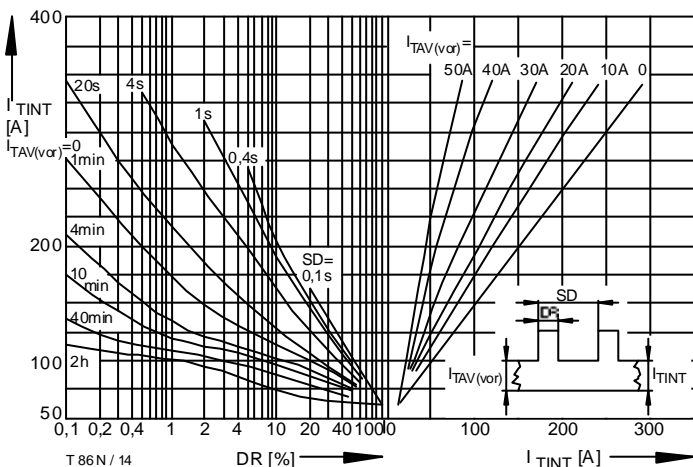


Bild / Fig. 14
 Höchstzulässiger Durchlaßstrom bei Aussetzbetrieb / Max. allowable on-state current at intermittent operation $I_{TINT} = f(ED)$
 Luftseltbstkühlung / Natural air-cooling, $t_A = 45^\circ\text{C}$
 Kühlkörper / Heatsink: K0.55-M12-A
 Parameter: Spieldauer / Cycle duration SD
 Vorlaststrom / Pre-load current $I_{TAV(\text{vor})}$

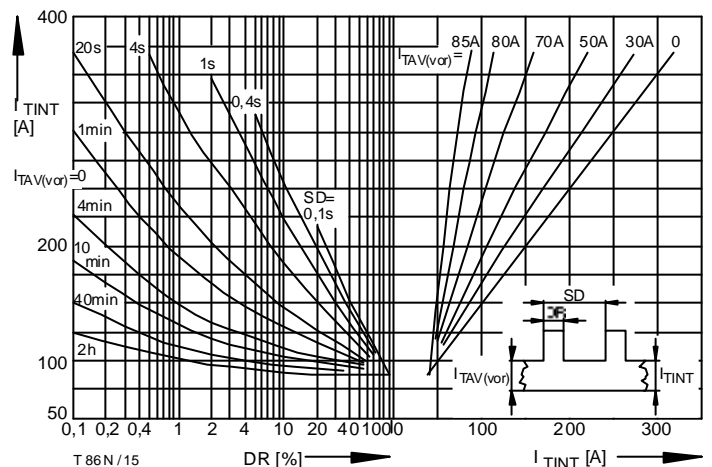


Bild / Fig. 15
 Höchstzulässiger Durchlaßstrom bei Aussetzbetrieb / Max. allowable on-state current at intermittent operation $I_{TINT} = f(ED)$
 Verstärkte Luftkühlung / Forced air-cooling, $t_A = 35^\circ\text{C}$
 Kühlkörper / Heatsink: K1.1-M12-A, $V_L = 30 \text{ l/s}$
 Parameter: Spieldauer / Cycle duration SD
 Vorlaststrom / Pre-load current $I_{TAV(\text{vor})}$

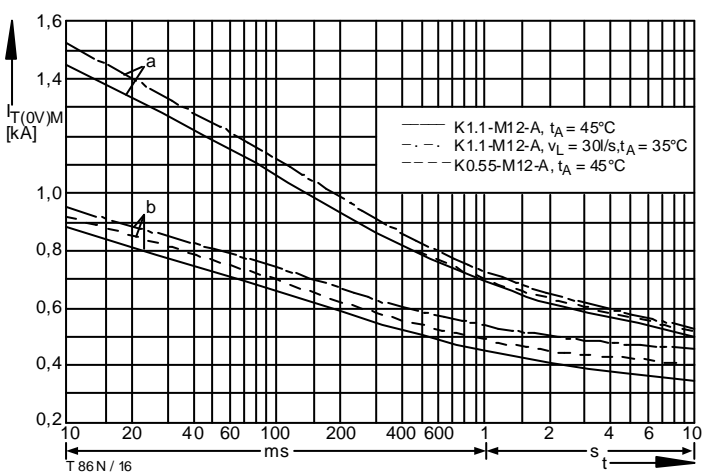


Bild / Fig. 16
 Grenzstrom / Max. overload on-state current $I_{T(OV)M} = f(t)$, $V_{RM} = 0.8 \text{ V}_{RRM}$
 Luftseltbstkühlung / Natural air-cooling, $t_A = 45^\circ\text{C}$
 Verstärkte Luftkühlung / Forced air-cooling, $t_A = 35^\circ\text{C}$, $V_L = 30 \text{ l/s}$
 Kühlkörper / Heatsink: K1.1-M12-A und K0.55-M12-A
 Belastung aus / Surge current occurs:
 a - Leerlauf / No-load conditions
 b - Betrieb mit Dauergrenzstrom / During operation at max. average on-state current I_{TAVM}

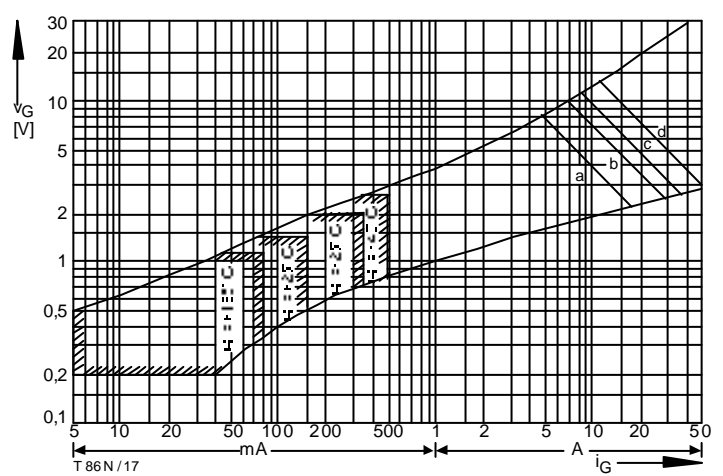


Bild / Fig. 17
 Steuercharakteristik mit Zündbereichen / Gate characteristic with triggering areas $V_G = f(i_G)$, $V_D = 6 \text{ V}$
 Parameter:
 a b c d
 Steuerimpulsdauer / trigger pulse duration t_0 [ms] 10 1 0,5 0,1
 Höchstzulässige Spitzensteuerverlustleistung /
 Max. rated peak gate power dissipation [W] 40 80 100 150

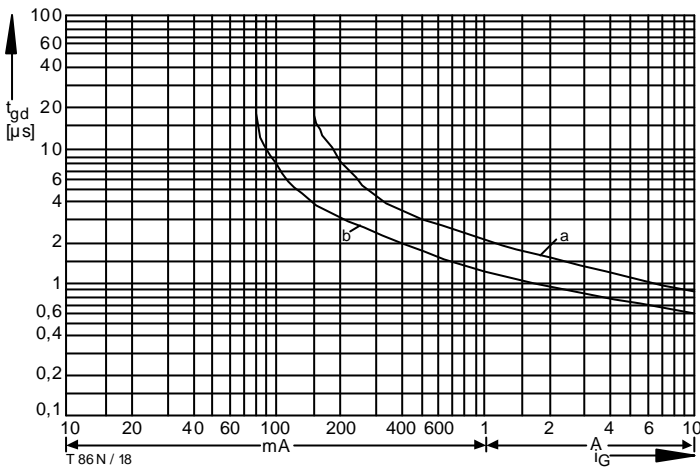


Bild / Fig. 18
Zündverzug / Gate controlled delay time $t_{gd} = f(i_G)$
 $t_{vj} = 25^\circ\text{C}, di_G/dt = i_{GM}/1\mu\text{s}$
a - Maximaler Verlauf / Limiting characteristic
b - Typischer Verlauf / Typical characteristic

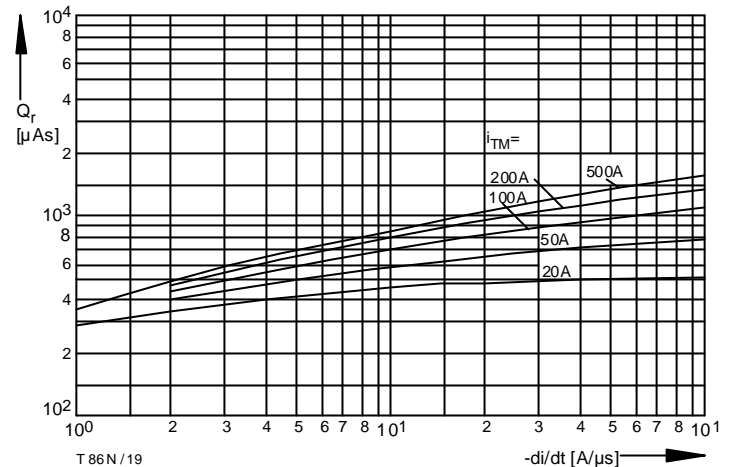


Bild / Fig. 19
Sperrverzögerungsladung / Recovered charge $Q_r = f(-di/dt)$
 $t_{vj} = t_{vj \max}, V_R = 0.5 V_{RRM}, V_{RM} = 0.8 V_{RRM}$
Parameter: Durchlaßstrom / On-state current i_{TM}

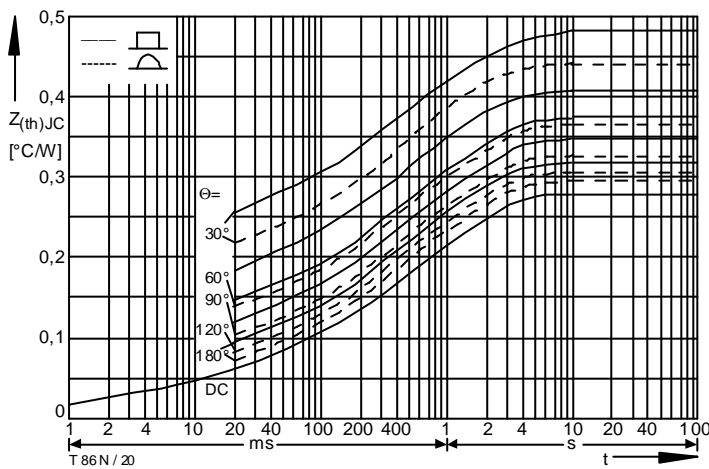


Bild / Fig. 20
Transienter innerer Wärmewiderstand / Transient thermal impedance
 $Z_{thJC} = f(t)$
Parameter: Stromflußwinkel / current conduction angle θ

Analytische Elemente des transienten Wärmewiderstandes Z_{thJC} pro Zweig für DC
Analytical elements of transient thermal impedance Z_{thJC} per arm for DC

Pos. n	1	2	3	4	5	6	7
$R_{thn} [^\circ\text{C}/\text{W}]$	0,0233	0,0433	0,094	0,122			
$\tau_n [\text{s}]$	0,00137	0,0175	0,263	1,71			

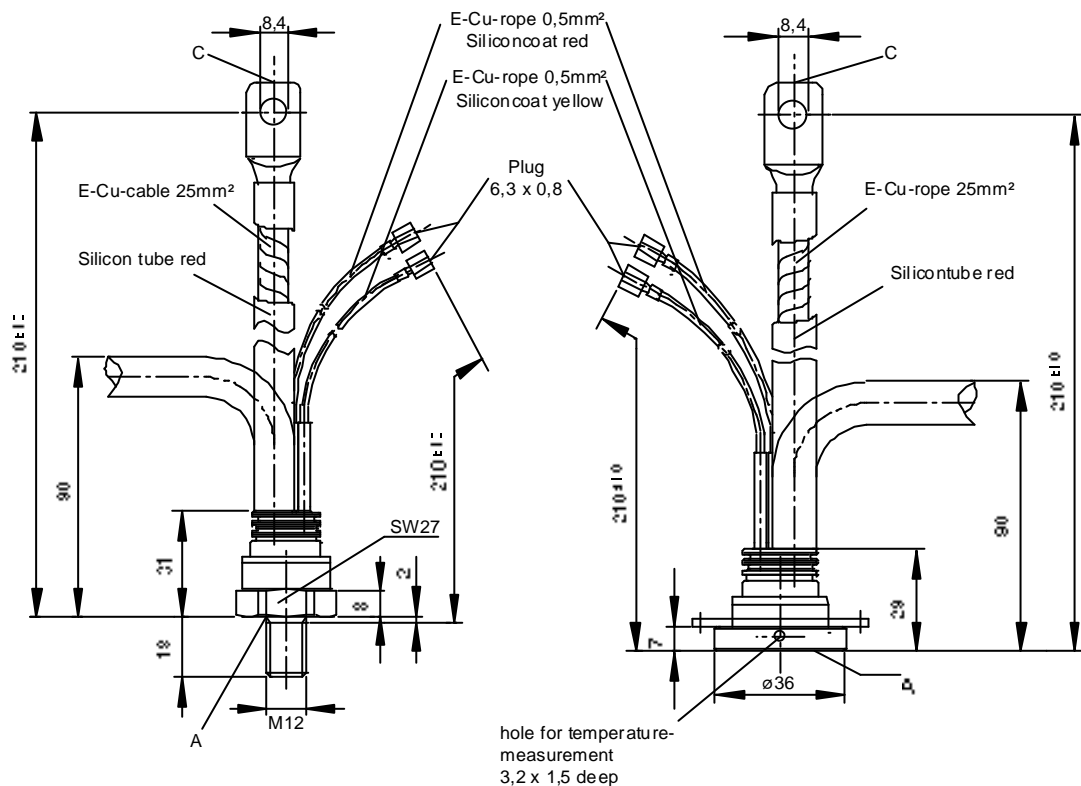
Analytische Funktion / Analytical function:

$$Z_{thJC} = \sum_{n=1}^{n_{\max}} R_{thn} (1 - e^{-\frac{t}{\tau_n}})$$



European Power-
Semiconductor and
Electronic Company

Marketing Information T 130 N



T 130 N

Elektrische Eigenschaften

Höchstzulässige Werte

Periodische Vorwärts- und Rückwärts-Spitzenperrspannung

Vorwärts-Stoßspitzenperrspannung

Rückwärts-Stoßspitzenperrspannung

Durchlaßstrom-Grenzeffektivwert

Dauergrenzstrom

Stoßstrom-Grenzwert

Grenzlastintegral

Kritische Stromteilheit

Kritische Spannungsteilheit

Electrical properties

Maximum rated values

repetitive peak forward off-state and reverse voltages

$$t_{vj} = -40^\circ\text{C} \dots t_{vj \max}$$

V_{DRM}, V_{RRM} 600 800 1000 1200
1400 1600 1800

V

non-repetitive peak forward off-state voltage

$$t_{vj} = -40^\circ\text{C} \dots t_{vj \max}$$

$V_{DSM} = V_{DRM}$ 600 800 1000 1200
1400 1600 1800

V

non-repetitive peak reverse voltage

$$t_{vj} = +25^\circ\text{C} \dots t_{vj \max}$$

$V_{RSM} = V_{RRM}$ 700 900 1100 1300
1500 1700 1900

V

Durchlaßstrom-Grenzeffektivwert

RMS on-state current

I_{TRMSM} 300

A

Dauergrenzstrom

average on-state current

I_{TAVM} 130

A

$$t_c = 85^\circ\text{C}$$

$$t_c = 56^\circ\text{C}$$

$$t_{vj} = 25^\circ\text{C}, t_p = 10 \text{ ms}$$

I_{TSM} 190

A

$$t_{vj} = t_{vj \max}, t_p = 10 \text{ ms}$$

$$t_{vj} = 25^\circ\text{C}, t_p = 10 \text{ ms}$$

3500

A

$$t_{vj} = t_{vj \max}, t_p = 10 \text{ ms}$$

$$t_{vj} = t_{vj \max}, t_p = 10 \text{ ms}$$

3000

A

Grenzlastintegral

$I^2 t$ -value

61000

A^2s

Kritische Stromteilheit

critical rate of rise of on-state current

45000

A^2s

$$V_D \leq 67\%, V_{DRM}, f = 50 \text{ Hz}$$

$(di_T/dt)_{cr}$ 150

$\text{A}/\mu\text{s}$

$$V_L = 10 \text{ V}, i_{GM} = 0,75 \text{ A}, di_G/dt = 0,75 \text{ A}/\mu\text{s}$$

$$t_{vj} = t_{vj \max}, V_D = 67\% V_{DRM}$$

$(dv/dt)_{cr}$ 1000

$\text{V}/\mu\text{s}$

Charakteristische Werte

Durchlaßspannung

Characteristic values

on-state voltage

$$t_{vj} = t_{vj \max}, i_T = 600 \text{ A}$$

V_T max. 1,96

V

Schleusenspannung

threshold voltage

$$t_{vj} = t_{vj \max}$$

$V_{T(TO)}$ 1,08

V

Ersatzwiderstand

slope resistance

$$t_{vj} = t_{vj \max}$$

r_T 1,53

$\text{m}\Omega$

Zündstrom

gate trigger current

$$t_{vj} = 25^\circ\text{C}, V_D = 6 \text{ V}$$

I_{GT} max. 150

mA

Zündspannung

gate trigger voltage

$$t_{vj} = 25^\circ\text{C}, V_D = 6 \text{ V}$$

V_{GT} max. 1,4

V

Nicht zündender Steuerstrom

gate non-trigger current

$$t_{vj} = t_{vj \max}, V_D = 6 \text{ V}$$

I_{GD} max. 5

mA

Nicht zündende Steuerspannung

gate non-trigger voltage

$$t_{vj} = t_{vj \max}, V_D = 0,5 V_{DRM}$$

V_{GD} max. 0,2

V

Haltestrom

holding current

$$t_{vj} = 25^\circ\text{C}, V_D = 6 \text{ V}, R_A = 5 \Omega$$

I_H max. 200

mA

Einraststrom

latching current

$$t_{vj} = 25^\circ\text{C}, V_D = 6 \text{ V}, R_{GK} \geq 10 \Omega$$

I_L max. 620

mA

$$i_{GM} = 0,75 \text{ A}, di_G/dt = 0,75 \text{ A}/\mu\text{s}, t_g = 20 \mu\text{s}$$

Vorwärts- und Rückwärts-Sperrstrom

forward off-state and reverse currents

$$t_{vj} = t_{vj \max}, V_D = V_{DRM}, V_R = V_{RRM}$$

i_D, i_R max. 30

mA

Zündverzug

gate controlled delay time

$$t_{vj} = 25^\circ\text{C}, i_{GM} = 0,75 \text{ A}, di_G/dt = 0,75 \text{ A}/\mu\text{s}$$

t_{gd} max. 4,5

μs

Freiwerdezeit

circuit commutated turn-off time

$$t_{vj} = 25^\circ\text{C}, i_{GM} = 0,75 \text{ A}, di_G/dt = 0,75 \text{ A}/\mu\text{s}$$

t_q typ. 180

μs

Thermische Eigenschaften

Innerer Wärmewiderstand

Thermal properties

thermal resistance, junction to case

$$\Theta = 180^\circ \text{ el, sin}$$

R_{thJC} max. 0,2

$^\circ\text{C/W}$

DC

max. 0,19

$^\circ\text{C/W}$

Höchstzul. Sperrschiichttemperatur

max. junction temperature

$$t_{vj \max}$$

125

$^\circ\text{C}$

Betriebstemperatur

operating temperature

$$t_{c op}$$

-40...+125

$^\circ\text{C}$

Lagertemperatur

storage temperature

$$t_{slg}$$

-40...+150

$^\circ\text{C}$

Mechanische Eigenschaften

Mechanical properties

Si-Elemente mit Druckkontakt

Si-pellet with pressure contact

Gehäuseform/case design B

M 20

Nm

Gehäuseform/case design E

F 3,5

kN

weight, case design E

G typ. 190

g

creepage distance

8

mm

humidity classification

C

vibration resistance

50

m/s²

outline, attached

DIN 41 894-222A4/DIN 41892-204B3

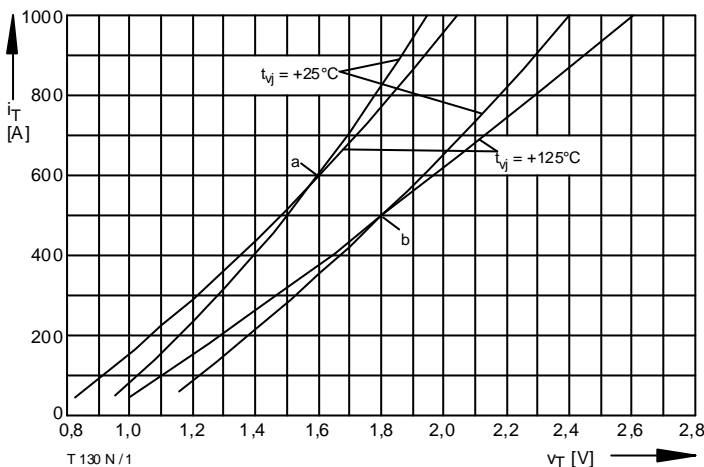


Bild / Fig. 1

Durchlaßkennlinien / On-state characteristics $i_T = f(v_T)$
a - Typische Kennlinien / typical characteristics
b - Grenzkennlinien / limiting characteristics

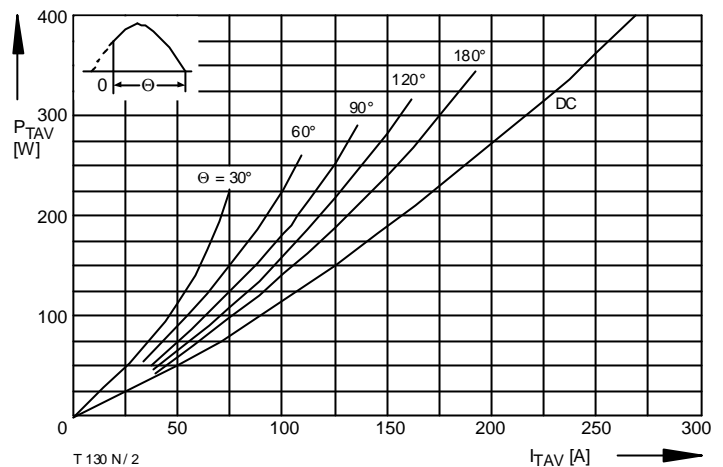


Bild / Fig. 2

Durchlaßverlustleistung / On-state power loss $P_{TAV} = f(I_{TAV})$
Parameter: Stromflußwinkel / Current conduction angle θ

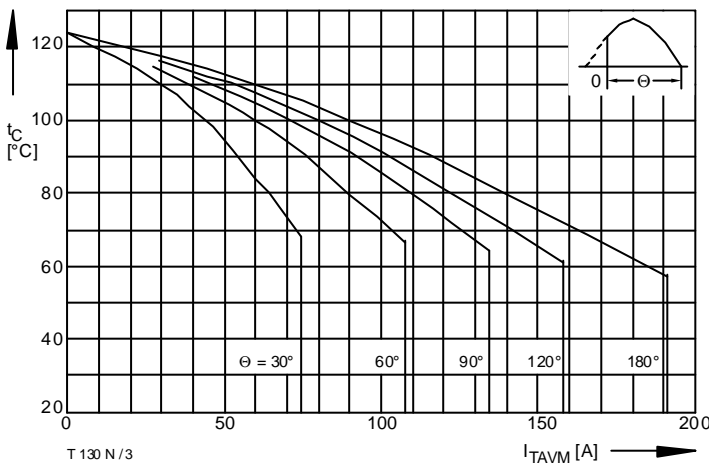


Bild / Fig. 3

Höchstzulässige Gehäusetemperatur / Max. allowable case temperature $t_C = f(I_{TAVM})$
Parameter: Stromflußwinkel / Current conduction angle θ

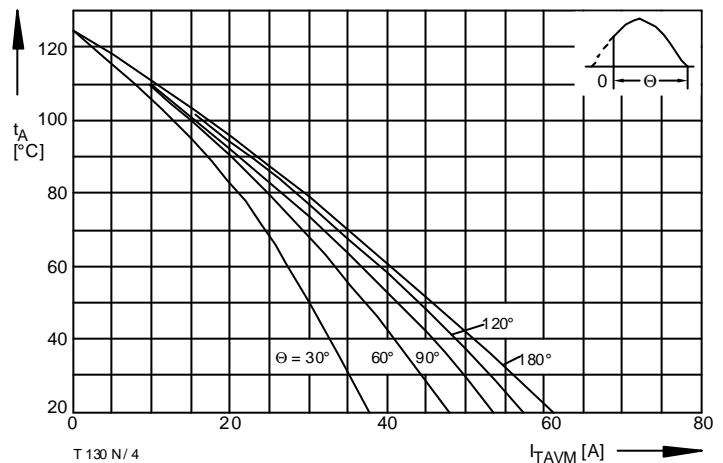


Bild / Fig. 4

Höchstzulässige Kühlmitteltemperatur / Max. allowable cooling medium temperature $t_A = f(I_{TAVM})$
Luftsebkühlung / Natural air-cooling
Kühlkörper / Heatsink: K1.1-M12-A
Parameter: Stromflußwinkel / Current conduction angle θ

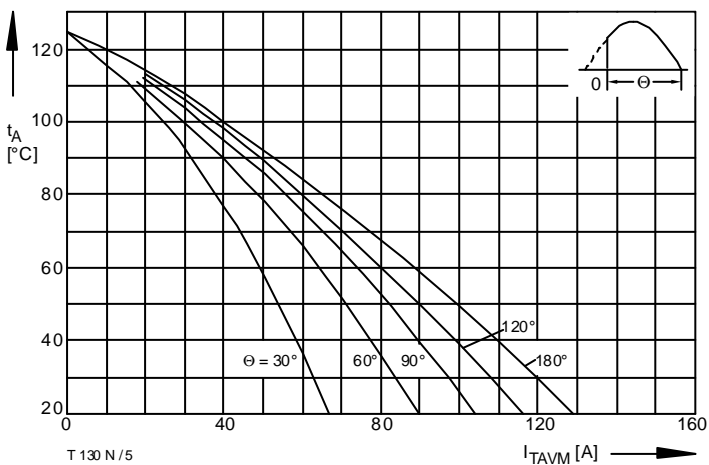


Bild / Fig. 5

Höchstzulässige Kühlmitteltemperatur / Max. allowable cooling medium temperature $t_A = f(I_{TAVM})$
Verstärkte Luftkühlung / forced air cooling
Kühlkörper / Heatsink: K1.1-M12-A, $V_L = 30 \text{ l/s}$
Parameter: Stromflußwinkel / Current conduction angle θ

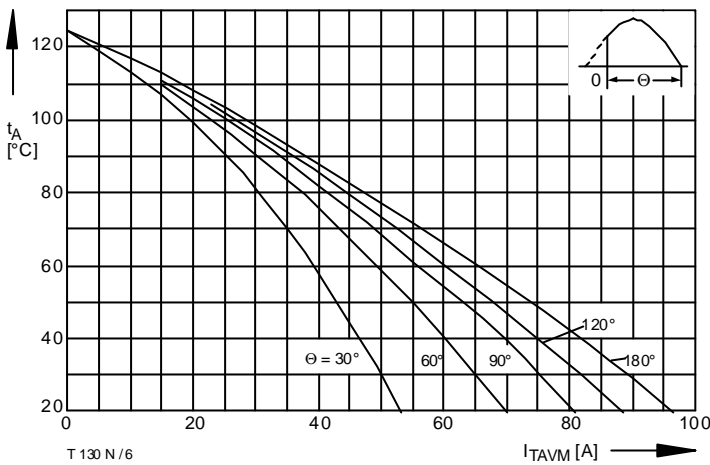


Bild / Fig. 6

Höchstzulässige Kühlmitteltemperatur / Max. allowable cooling medium temperature $t_A = f(I_{TAVM})$
Luftselbstkühlung / Natural air-cooling
Kühlkörper / Heatsink: K0.55-M12-A
Parameter: Stromflußwinkel / Current conduction angle θ

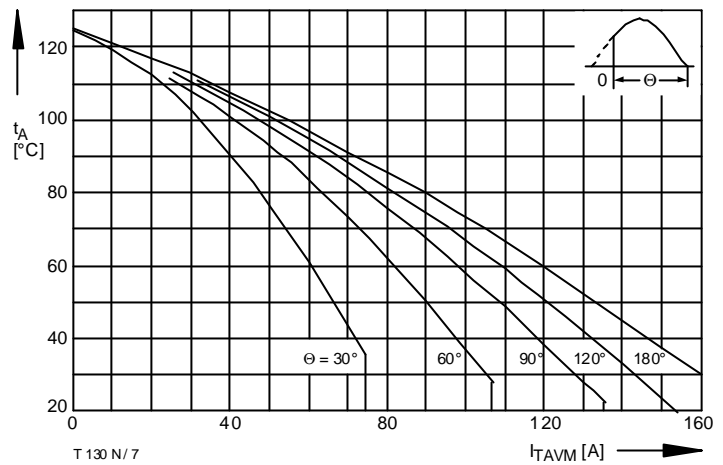


Bild / Fig. 7

Höchstzulässige Kühlmitteltemperatur / Max. allowable cooling medium temperature $t_A = f(I_{TAVM})$
Verstärkte Luftkühlung / forced air cooling
Kühlkörper / Heatsink: K0.55-M12-A, $V_L = 50$ l/s
Parameter: Stromflußwinkel / Current conduction angle θ

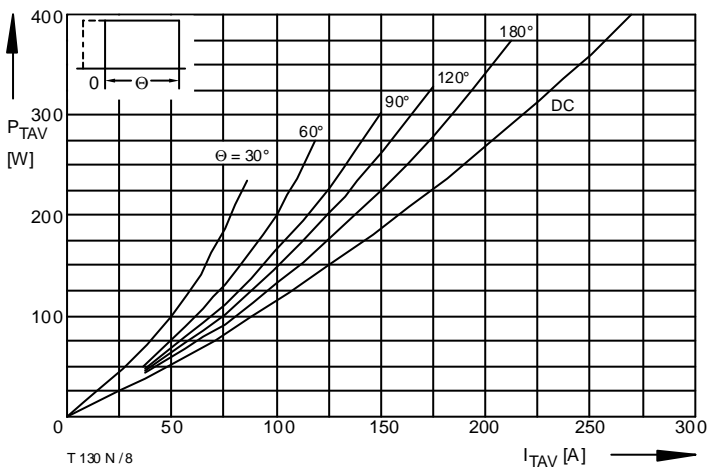


Bild / Fig. 8

Durchlaßverlustleistung / On-state power loss $P_{TAV} = f(I_{TAV})$
Parameter: Stromflußwinkel / Current conduction angle θ

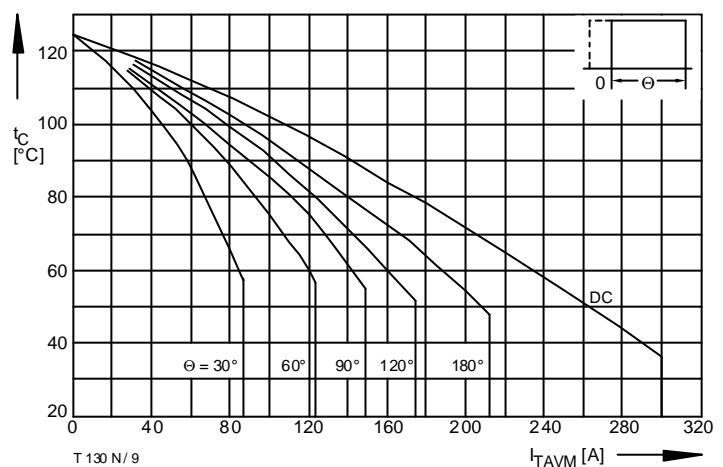


Bild / Fig. 9

Höchstzulässige Gehäusetemperatur / Max. allowable case temperature $t_C = f(I_{TAVM})$
Parameter: Stromflußwinkel / Current conduction angle θ

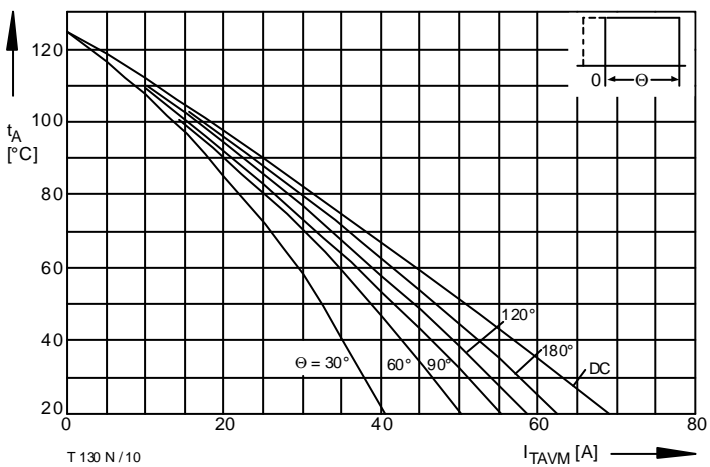


Bild / Fig. 10

Höchstzulässige Kühlmitteltemperatur / Max. allowable cooling medium temperature $t_A = f(I_{TAVM})$
Luftselbstkühlung / Natural air-cooling
Kühlkörper / Heatsink: K1.1-M12-A
Parameter: Stromflußwinkel / Current conduction angle θ

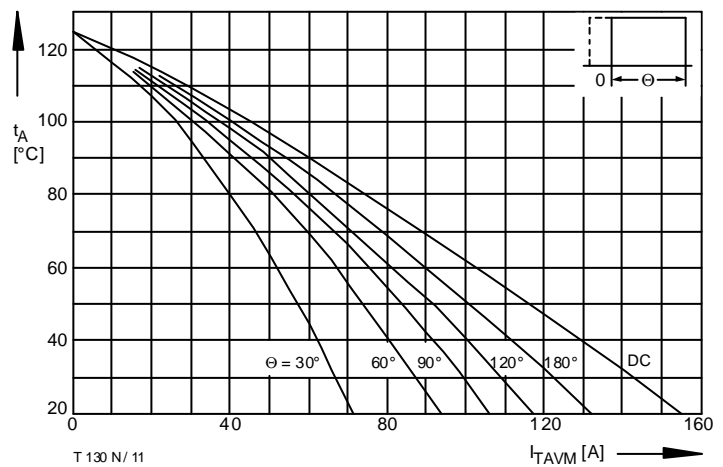


Bild / Fig. 11

Höchstzulässige Kühlmitteltemperatur / Max. allowable cooling medium temperature $t_A = f(I_{TAVM})$
Verstärkte Luftkühlung / forced air cooling
Kühlkörper / Heatsink: K1.1-M12-A, $V_L = 30$ l/s
Parameter: Stromflußwinkel / Current conduction angle θ

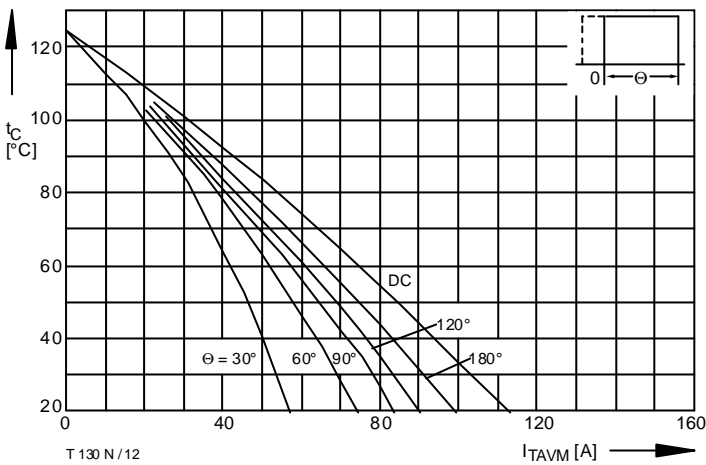


Bild / Fig. 12

Höchstzulässige Kühlmitteltemperatur / Max. allowable cooling medium temperatur $t_c = f(I_{TAVM})$
Luftselbstkühlung / Natural air-cooling
Kühlkörper / Heatsink: K0.55-M12-A
Parameter: Stromflußwinkel / Current conduction angle θ

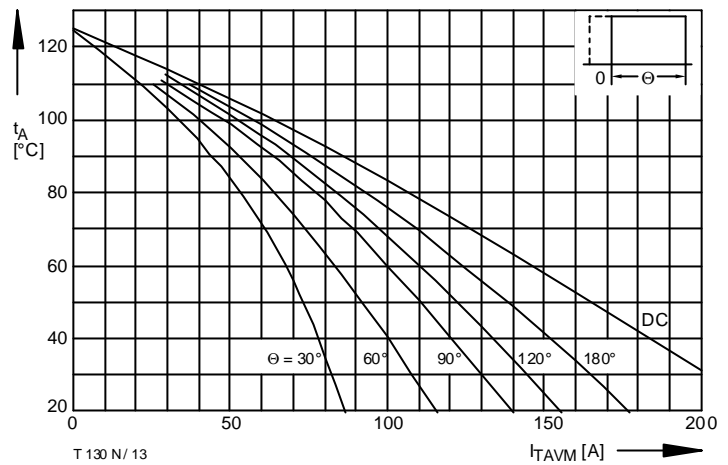


Bild / Fig. 13

Höchstzulässige Kühlmitteltemperatur / Max. allowable cooling medium temperatur $t_A = f(I_{TAVM})$
Verstärkte Luftkühlung / Forced air-cooling,
Kühlkörper / Heatsink: K0.55-M12-A, $V_L = 50$ l/s
Parameter: Stromflußwinkel / Current conduction angle θ

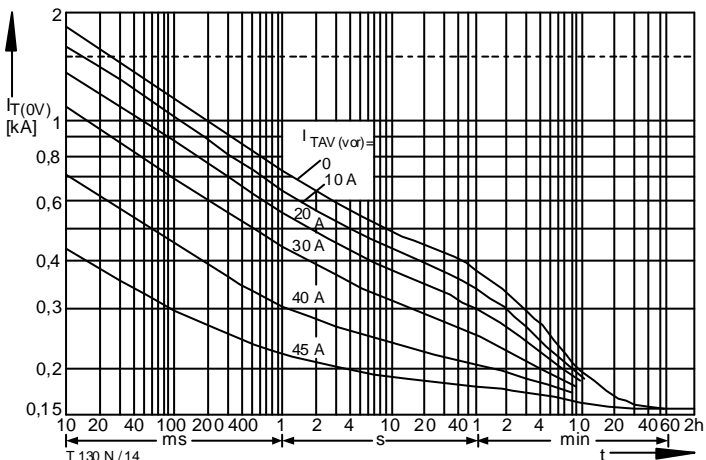


Bild / Fig. 14

Überstrom / Overload on-state current $I_{T(OV)} = f(t)$
Luftselbstkühlung / Natural air-cooling, $t_A = 45^\circ C$
Kühlkörper / Heatsink: K0.11-M12-A
Parameter: Vorlaststrom / Pre-load current $I_{TAV(vor)}$

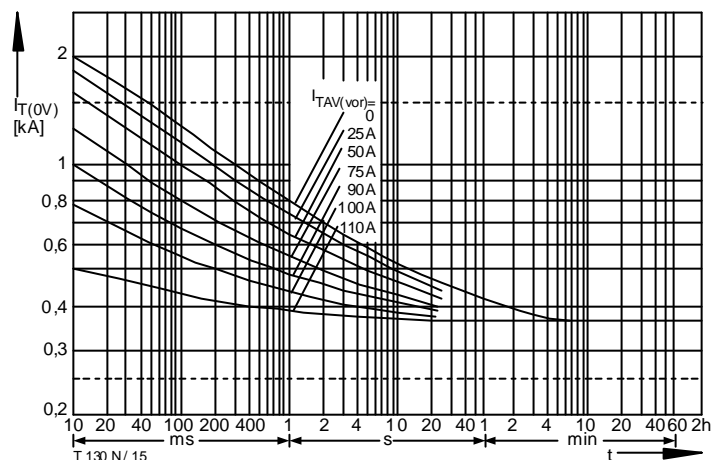


Bild / Fig. 15

Überstrom / Overload on-state current $I_{T(OV)} = f(t)$
Verstärkte Luftkühlung / Forced air-cooling, $t_A = 35^\circ C$
Kühlkörper / Heatsink: K0.11-M12-A, $V_L = 30$ l/s
Parameter: Vorlaststrom / Pre-load current $I_{TAV(vor)}$

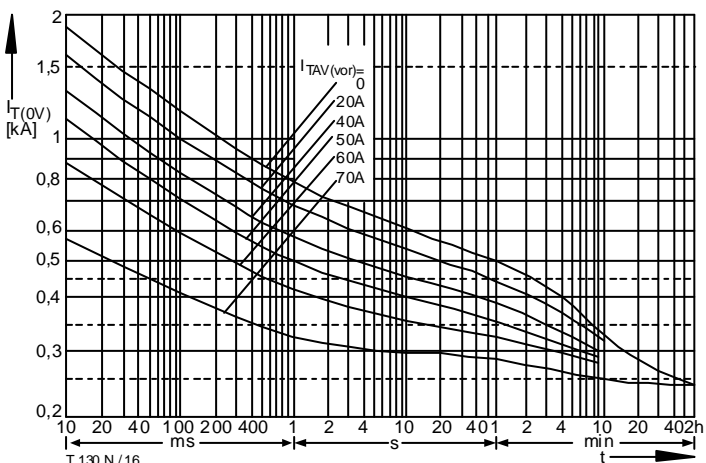


Bild / Fig. 16

Überstrom / Overload on-state current $I_{T(OV)} = f(t)$
Luftselbstkühlung / Natural air-cooling, $t_A = 45^\circ C$
Kühlkörper / Heatsink: K0.55-M12-A
Parameter: Vorlaststrom / Pre-load current $I_{TAV(vor)}$

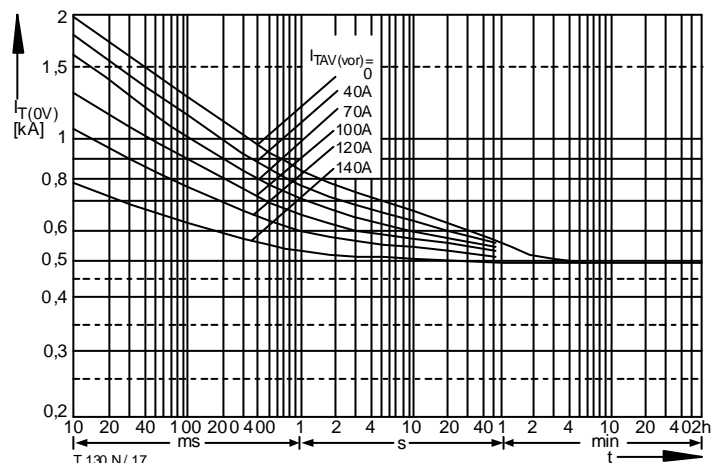


Bild / Fig. 17

Überstrom / Overload on-state current $I_{T(OV)} = f(t)$
Verstärkte Luftkühlung / Forced air-cooling, $t_A = 35^\circ C$
Kühlkörper / Heatsink: K0.55-M12-A, $V_L = 50$ l/s
Parameter: Vorlaststrom / Pre-load current $I_{TAV(vor)}$

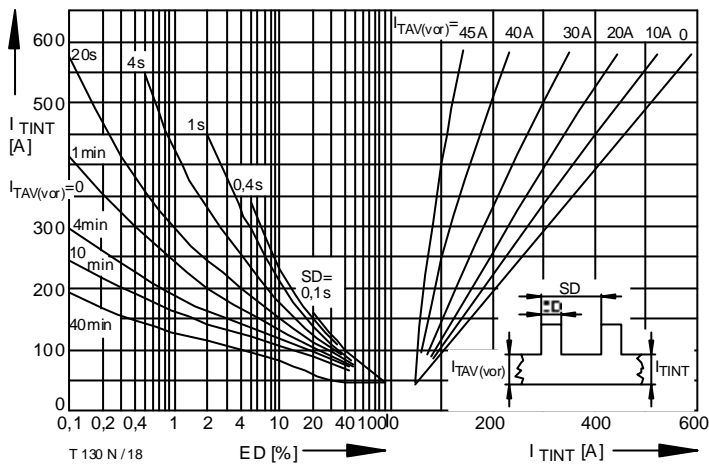


Bild / Fig. 18

Höchstzulässiger Durchlaßstrom bei Aussetzbetrieb / Max. allowable on-state current at intermittent operation $I_{TINT} = f(ED)$
 Luftselbstkühlung / Natural air-cooling, $t_A = 45^\circ C$
 Kühlkörper / Heatsink: K1.1-M12-A
 Parameter: Spieldauer / Cycle duration SD
 Vorlaststrom / Pre-load current $I_{TAV(vor)}$

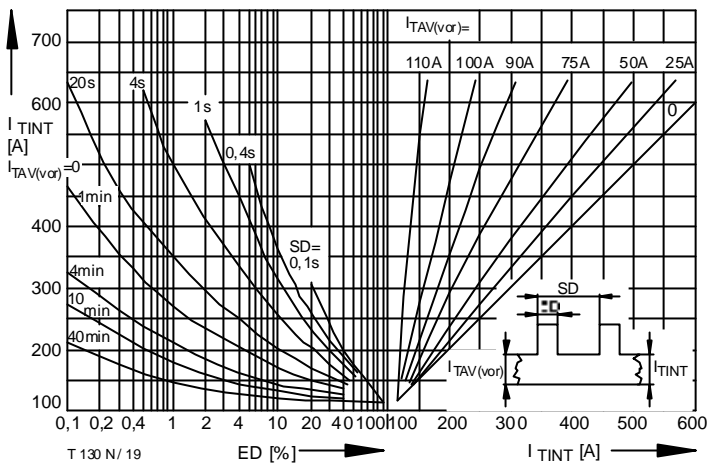


Bild / Fig. 19

Höchstzulässiger Durchlaßstrom bei Aussetzbetrieb / Max. allowable on-state current at intermittent operation $I_{TINT} = f(ED)$
 Verstärkte Luftkühlung / Forced air-cooling, $t_A = 35^\circ C$, $V_L = 30 l/s$
 Kühlkörper / Heatsink: K1.1-M12-A
 Parameter: Spieldauer / Cycle duration SD
 Vorlaststrom / Pre-load current $I_{TAV(vor)}$

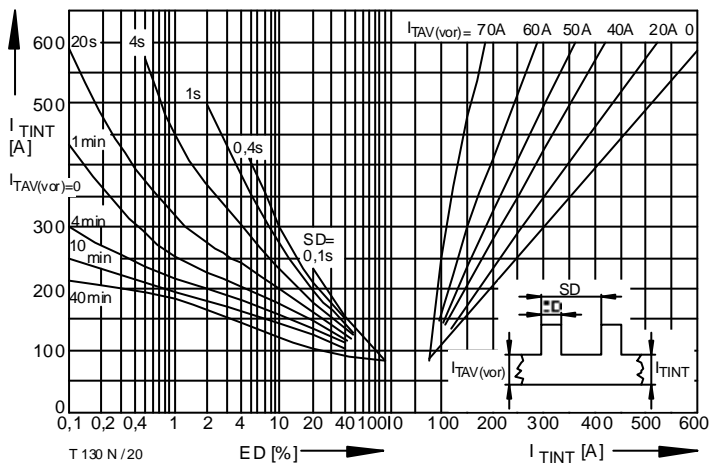


Bild / Fig. 20

Höchstzulässiger Durchlaßstrom bei Aussetzbetrieb / Max. allowable on-state current at intermittent operation $I_{TINT} = f(ED)$
 Luftselbstkühlung / Natural air-cooling, $t_A = 45^\circ C$
 Kühlkörper / Heatsink: K0.55-FB54-A
 Parameter: Spieldauer / Cycle duration SD
 Vorlaststrom / Pre-load current $I_{TAV(vor)}$

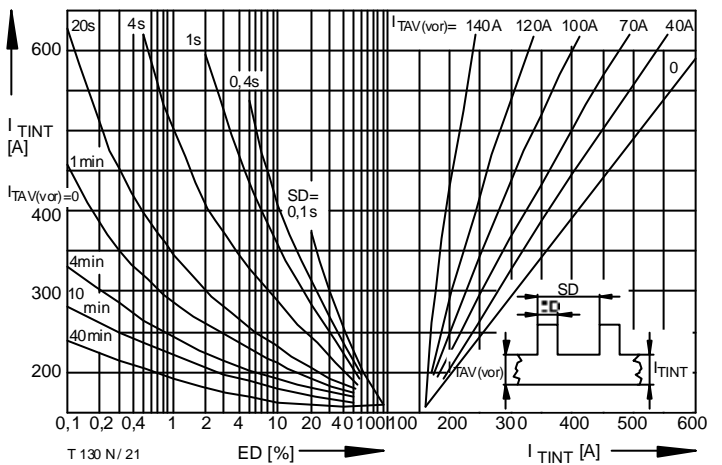


Bild / Fig. 21

Höchstzulässiger Durchlaßstrom bei Aussetzbetrieb / Max. allowable on-state current at intermittent operation $I_{TINT} = f(ED)$
 Verstärkte Luftkühlung / Forced air-cooling, $t_A = 35^\circ C$, $V_L = 50 l/s$
 Kühlkörper / Heatsink: K0.55-M12-A
 Parameter: Spieldauer / Cycle duration SD
 Vorlaststrom / Pre-load current $I_{TAV(vor)}$

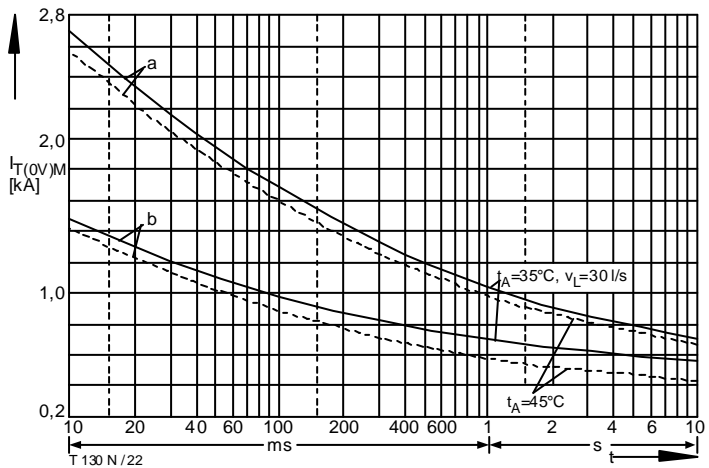


Bild / Fig. 22

Grenzstrom / Max. overload on-state current $I_{T(OV)M} = f(t)$, $v_{RM} = 0,8 V_{RRM}$
 ----- Luftselbstkühlung / Natural air-cooling, $t_A = 45^\circ C$
 —— Verstärkte Luftkühlung / Forced air-cooling, $t_A = 35^\circ C$, $V_L = 30 l/s$
 Kühlkörper / Heatsink: K1.1-M12-A
 Belastung aus / Surge current occurs:
 a - Leerlauf / No-load conditions
 b - Betrieb mit Dauergrenzstrom / During operation at max. average on-state current I_{TAVM}

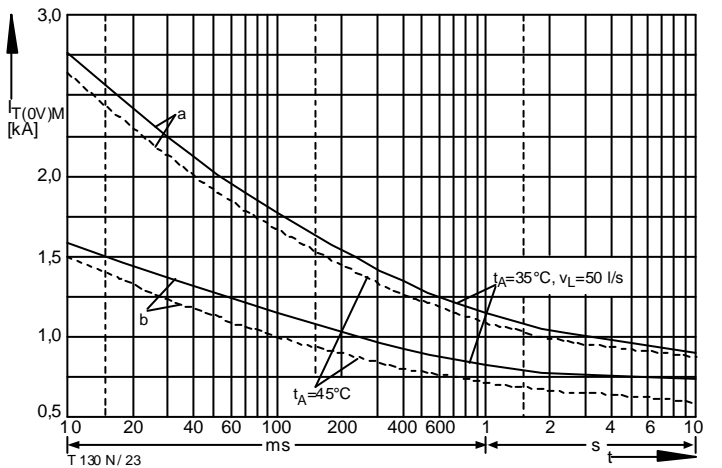


Bild / Fig. 23

Grenzstrom / Max. overload on-state current $I_{T(OV)M} = f(t)$, $v_{RM} = 0,8 V_{RRM}$
 ----- Luftselbstkühlung / Natural air-cooling, $t_A = 45^\circ C$
 —— Verstärkte Luftkühlung / Forced air-cooling, $t_A = 35^\circ C$, $V_L = 50 l/s$
 Kühlkörper / Heatsink: K0.55-FB54-A
 Belastung aus / Surge current occurs:
 a - Leerlauf / No-load conditions
 b - Betrieb mit Dauergrenzstrom / During operation at max. average on-state current I_{TAVM}

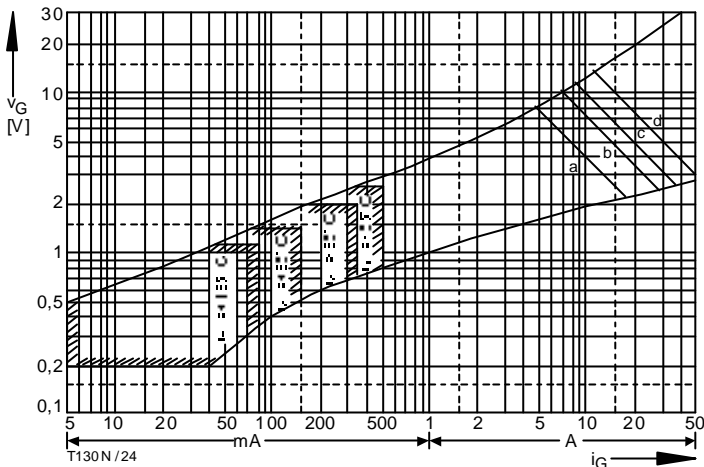


Bild / Fig. 24
Steuercharakteristik mit Zündbereichen / Gate characteristic with triggering areas $v_G = f(i_G)$, $V_D = 6 \text{ V}$
Parameter:
a b c d
Steuerimpulsdauer / trigger pulse duration t_g [ms] 10 1 0,5 0,1
Höchstzulässige Spitzensteuerverlustleistung /
Max. rated peak gate power dissipation [W] 40 80 100 150

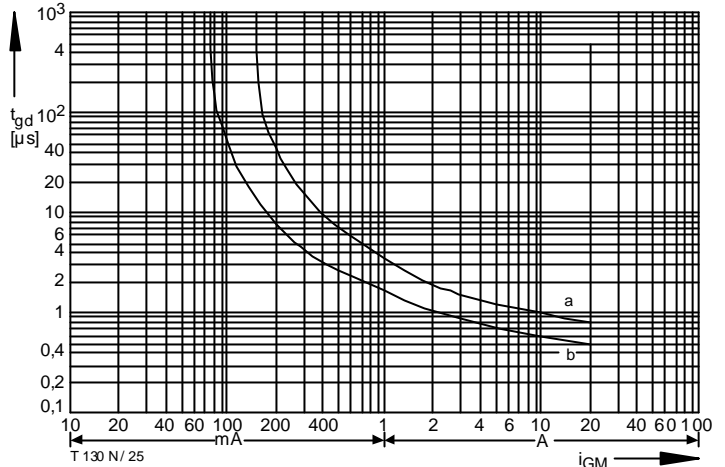


Bild / Fig. 25
Zündverzug / Gate controlled delay time $t_{gd} = f(i_{GM})$
 $t_{vj} = 25^\circ\text{C}$, $\frac{di_G}{dt} = i_{GM}/1\mu\text{s}$
a - Maximaler Verlauf / Limiting characteristic
b - Typischer Verlauf / Typical characteristic

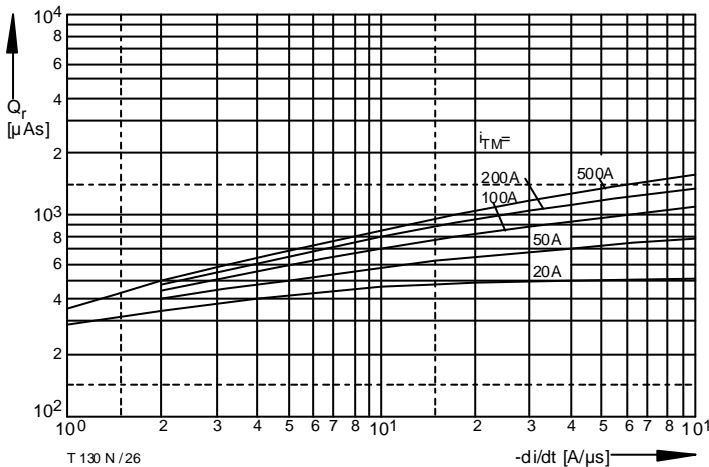


Bild / Fig. 26
Sperrverzögerung gsladung / Recovered charge $Q_r = f(-di/dt)$
 $t_{vj} = t_{vj \text{ max}}$, $V_R = 0,5 \text{ V}_{RRM}$, $V_{RM} = 0,8 \text{ V}_{RRM}$
Parameter: Durchlaßstrom / On-state current i_{TM}

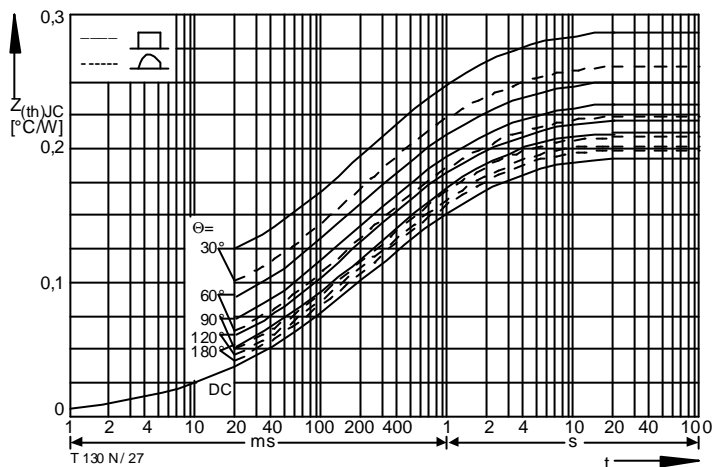


Bild / Fig. 27
Transienter innerer Wärmewiderstand / Transient thermal impedance
 $Z_{thJC} = f(t)$
Parameter: Stromflußwinkel / current conduction angle θ

Analytische Elemente des transienten Wärmewiderstandes Z_{thJC} pro Zweig für DC
Analytical elements of transient thermal impedance Z_{thJC} per arm for DC

Pos. n	1	2	3	4	5	6	7	8	9
R_{thn} [°C/W]	0,00832	0,0243	0,0373	0,0185	0,037	0,00058	0,0152	0,0353	0,0152
τ_n [s]	0,00089	0,0171	0,0905	0,27	0,413	0,616	0,74	2,16	3

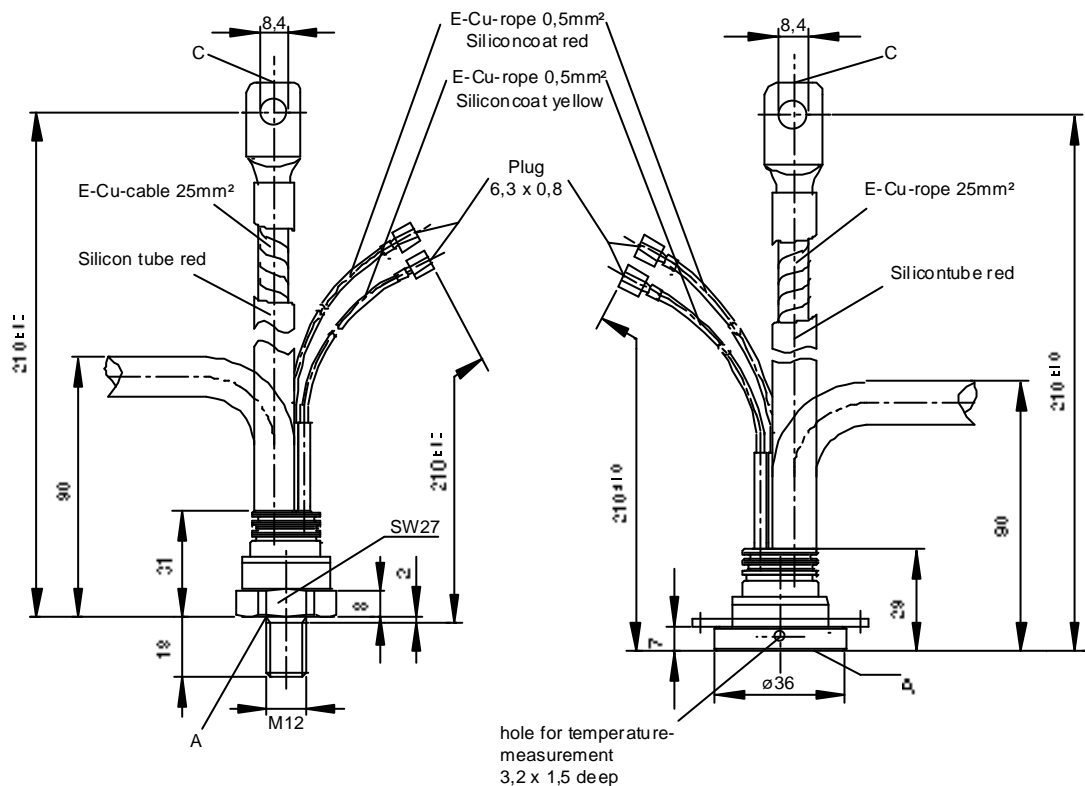
Analytische Funktion / Analytical function:

$$Z_{thJC} = \sum_{n=1}^{n_{\max}} R_{thn} \left(1 - e^{-\frac{t}{\tau_n}}\right)$$



European Power-
Semiconductor and
Electronic Company

Marketing Information T 160 N



T 160 N

Elektrische Eigenschaften

Höchstzulässige Werte

Periodische Vorwärts- und Rückwärts-Spitzenperrspannung

Vorwärts-Stoßspitzenperrspannung

Rückwärts-Stoßspitzenperrspannung

Durchlaßstrom-Grenzeffektivwert

Dauergrenzstrom

Stoßstrom-Grenzwert

Grenzlastintegral

Kritische Stromsteilheit

Kritische Spannungssteilheit

Electrical properties

Maximum rated values

repetitive peak forward off-state and reverse voltages

$$t_{vj} = -40^\circ\text{C} \dots t_{vj \max}$$

$$V_{\text{DRM}}, V_{\text{RRM}}$$

600 800 1000 1200
1400 1600 1800

V

non-repetitive peak forward off-state voltage

$$t_{vj} = -40^\circ\text{C} \dots t_{vj \max}$$

$$V_{\text{DSM}} = V_{\text{DRM}}$$

600 800 1000 1200
1400 1600 1800

V

non-repetitive peak reverse voltage

$$t_{vj} = +25^\circ\text{C} \dots t_{vj \max}$$

$$V_{\text{RSM}} = V_{\text{RRM}}$$

700 900 1100 1300
1500 1700 1900

V

Rückwärts-Stoßspitzenperrspannung

RMS on-state current

$$I_{\text{TRMSM}}$$

300

A

Dauergrenzstrom

average on-state current

$$I_{\text{TAVM}}$$

160

A

Stoßstrom-Grenzwert

surge current

$$t_c = 85^\circ\text{C}$$

$$I_{\text{TSM}}$$

190

A

Grenzlastintegral

$I^2 t$ -value

$$t_c = 73^\circ\text{C}$$

$$t_{vj} = 25^\circ\text{C}, t_p = 10 \text{ ms}$$

3800

A

Kritische Stromsteilheit

critical rate of rise of on-state current

$$t_{vj} = t_{vj \max}, t_p = 10 \text{ ms}$$

$$t_{vj} = 25^\circ\text{C}, t_p = 10 \text{ ms}$$

3400

A

Kritische Spannungssteilheit

critical rate of rise of off-state voltage

$$t_{vj} = t_{vj \ max}, V_D = 67\% V_{\text{DRM}}$$

$$(di_T/dt)_{cr}$$

150

A/ μ s

Charakteristische Werte

Durchlaßspannung

Characteristic values

on-state voltage

$$t_{vj} = t_{vj \ max}, i_T = 600 \text{ A}$$

$$V_T$$

max. 1,96

V

Schleusenspannung

threshold voltage

$$t_{vj} = t_{vj \ max}$$

$$V_{T(\text{TO})}$$

1,08

V

Ersatzwiderstand

slope resistance

$$t_{vj} = t_{vj \ max}$$

$$r_T$$

1,53

m Ω

Zündstrom

gate trigger current

$$t_{vj} = 25^\circ\text{C}, V_D = 6 \text{ V}$$

$$I_{\text{GT}}$$

max. 150

mA

Zündspannung

gate trigger voltage

$$t_{vj} = 25^\circ\text{C}, V_D = 6 \text{ V}$$

$$V_{\text{GT}}$$

max. 1,4

V

Nicht zündender Steuerstrom

gate non-trigger current

$$t_{vj} = t_{vj \ max}, V_D = 6 \text{ V}$$

$$I_{\text{GD}}$$

max. 5

mA

Nicht zündende Steuerspannung

gate non-trigger voltage

$$t_{vj} = t_{vj \ max}, V_D = 0,5 V_{\text{DRM}}$$

$$V_{\text{GD}}$$

max. 0,2

V

Haltestrom

holding current

$$t_{vj} = 25^\circ\text{C}, V_D = 6 \text{ V}, R_A = 5 \Omega$$

$$I_H$$

max. 200

mA

Einraststrom

latching current

$$t_{vj} = 25^\circ\text{C}, V_D = 6 \text{ V}, R_{\text{GK}} \geq 10 \Omega$$

$$I_L$$

max. 620

mA

Vorwärts- und Rückwärts-Sperrstrom

forward off-state and reverse currents

$$t_{vj} = t_{vj \ max}, V_D = V_{\text{DRM}}, V_R = V_{\text{RRM}}$$

$$i_D, i_R$$

max. 30

mA

Zündverzug

gate controlled delay time

$$t_{vj} = 25^\circ\text{C}, i_{\text{GM}} = 0,75 \text{ A}, di_G/dt = 0,75 \text{ A}/\mu\text{s}$$

$$t_{gd}$$

max. 4,5

μ s

Freiwerdezeit

circuit commutated turn-off time

$$t_{vj} = 25^\circ\text{C}, i_{\text{GM}} = 0,75 \text{ A}, di_G/dt = 0,75 \text{ A}/\mu\text{s}$$

$$t_q$$

typ. 200

μ s

Thermische Eigenschaften

Innerer Wärmewiderstand

Thermal properties

thermal resistance, junction to case

$$\Theta = 180^\circ \text{ el, sin}$$

$$R_{\text{thJC}}$$

max. 0,15 $^\circ\text{C/W}$

Höchstzul. Sperrschiichttemperatur

max. junction temperature

$$\text{DC}$$

$$max. 0,14 \text{ }^\circ\text{C/W}$$

Betriebstemperatur

operating temperature

$$t_{cj \ max}$$

125

$^\circ\text{C}$

Lagertemperatur

storage temperature

$$t_{cj \ op}$$

-40...+125

$^\circ\text{C}$

$$t_{cj \ slg}$$

-40...+150

$^\circ\text{C}$

Mechanische Eigenschaften

Mechanical properties

Si-Elemente mit Druckkontakt

Si-pellet with pressure contact

Gehäuseform/case design B

$$M$$

20

Nm

Anzugsdrehmoment

tightening torque

Gehäuseform/case design E

$$F$$

3,5

kN

Anpreßkraft

clamping force

$$G$$

typ. 190

g

Gewicht, Bauform E

weight, case design E

$$8 \text{ mm}$$

Kriechstrecke

creepage distance

$$C$$

Feuchteklasse

humidity classification

$$\text{DIN 40040}$$

Schwingfestigkeit

vibration resistance

$$f = 50 \text{ Hz}$$

50

m/s^2

Maßbild, anliegend

outlines, attached

$$\text{DIN 41 894-222A4/DIN 41892-204B3}$$

T 160 N

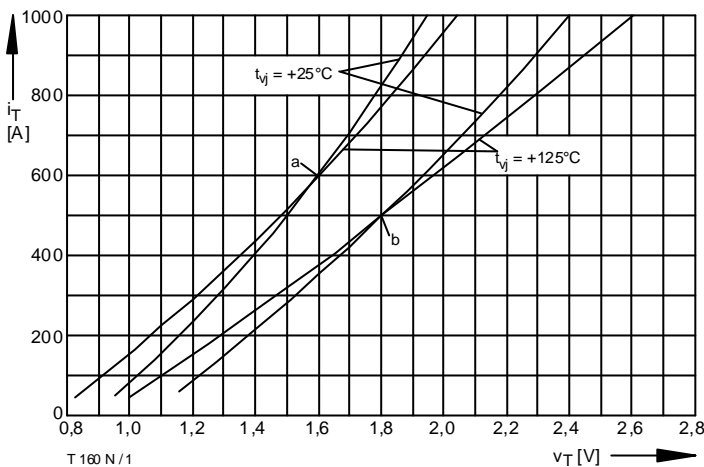


Bild / Fig. 1

Durchlaßkennlinien / On-state characteristics $i_T = f(v_T)$
a - Typische Kennlinien / typical characteristics
b - Grenzkennlinien / limiting characteristics

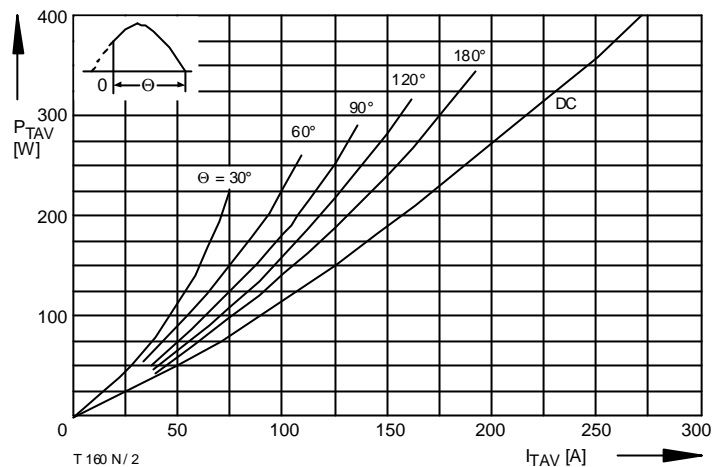


Bild / Fig. 2

Durchlaßverlustleistung / On-state power loss $P_{TAV} = f(I_{TAV})$
Parameter: Stromflußwinkel / Current conduction angle θ

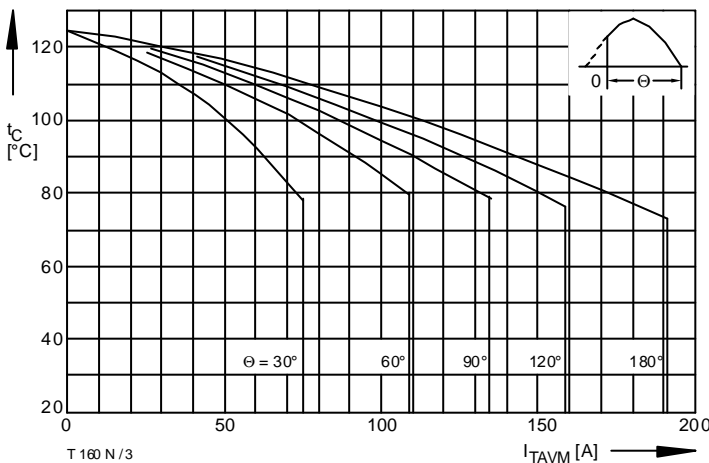


Bild / Fig. 3

Höchstzulässige Gehäusetemperatur / Max. allowable case temperature $t_C = f(I_{TAVM})$
Parameter: Stromflußwinkel / Current conduction angle θ

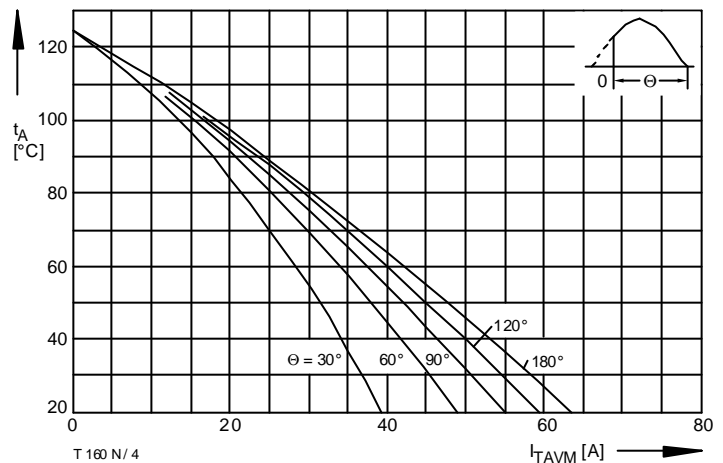


Bild / Fig. 4

Höchstzulässige Kühlmitteltemperatur / Max. allowable cooling medium temperature $t_A = f(I_{TAVM})$
Luftsebkühlung / Natural air-cooling
Kühlkörper / Heatsink: K1.1-M12-A
Parameter: Stromflußwinkel / Current conduction angle θ

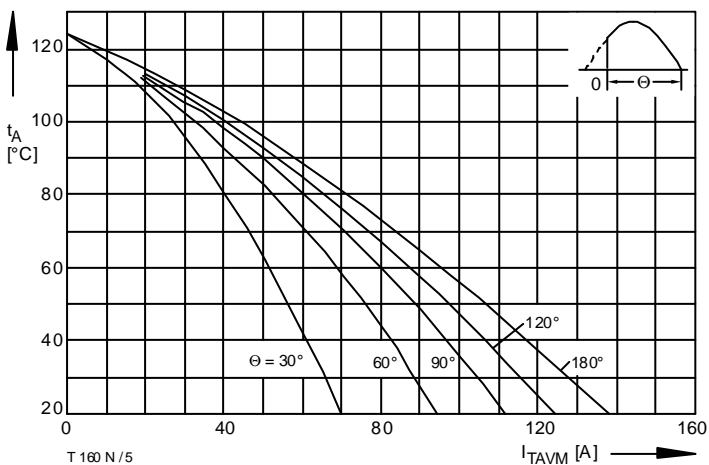


Bild / Fig. 5

Höchstzulässige Kühlmitteltemperatur / Max. allowable cooling medium temperature $t_A = f(I_{TAVM})$
Verstärkte Luftkühlung / forced air cooling
Kühlkörper / Heatsink: K1.1-M12-A, $V_L = 30 \text{ l/s}$
Parameter: Stromflußwinkel / Current conduction angle θ

T 160 N

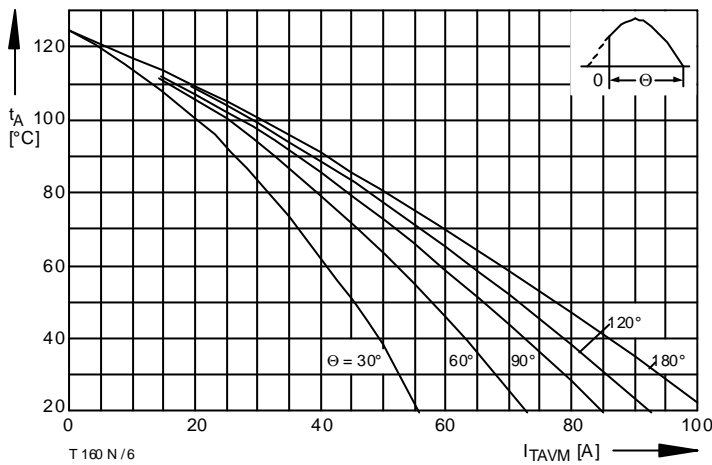


Bild / Fig. 6

Höchstzulässige Kühlmitteltemperatur / Max. allowable cooling medium temperature $t_A = f(I_{TAVM})$
Luftselbstkühlung / Natural air-cooling
Kühlkörper / Heatsink: K0.55-M12-A
Parameter: Stromflußwinkel / Current conduction angle θ

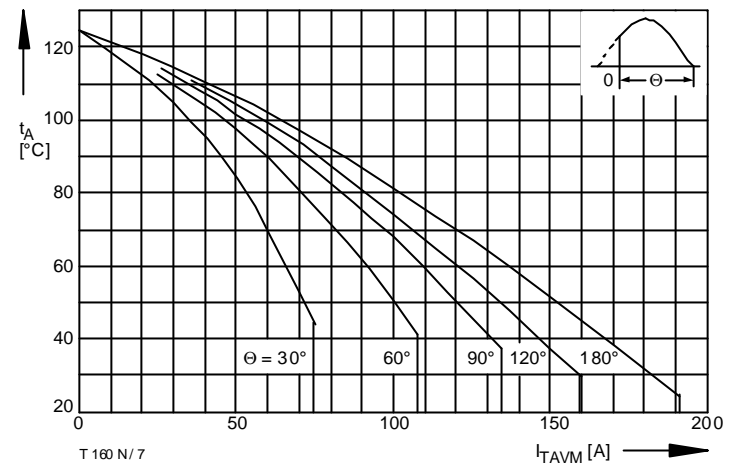


Bild / Fig. 7

Höchstzulässige Kühlmitteltemperatur / Max. allowable cooling medium temperature $t_A = f(I_{TAVM})$
Verstärkte Luftkühlung / Forced air cooling
Kühlkörper / Heatsink: K0.55-M12-A, $V_L = 50$ l/s
Parameter: Stromflußwinkel / Current conduction angle θ

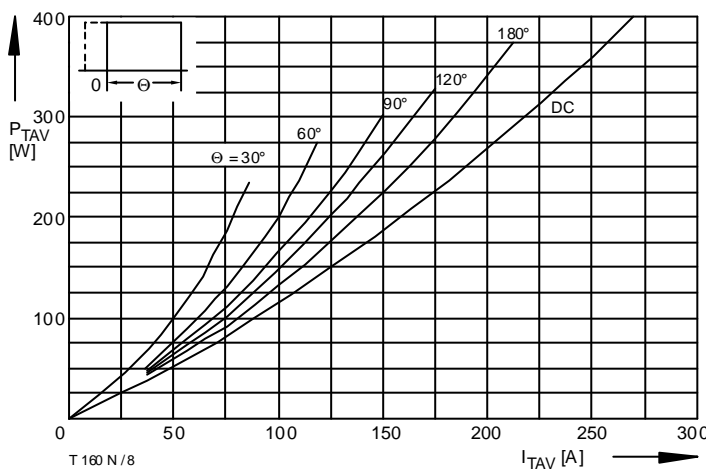


Bild / Fig. 8

Durchlaßverlustleistung / On-state power loss $P_{TAV} = f(I_{TAV})$
Parameter: Stromflußwinkel / Current conduction angle θ

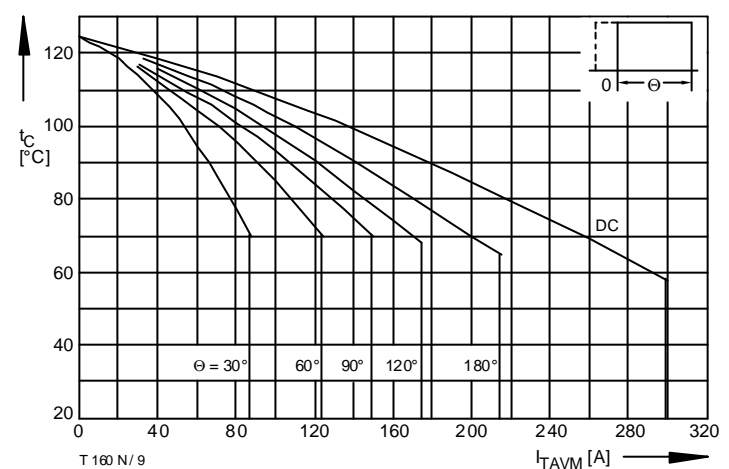


Bild / Fig. 9

Höchstzulässige Gehäusetemperatur / Max. allowable case temperature $t_C = f(I_{TAVM})$
Parameter: Stromflußwinkel / Current conduction angle θ

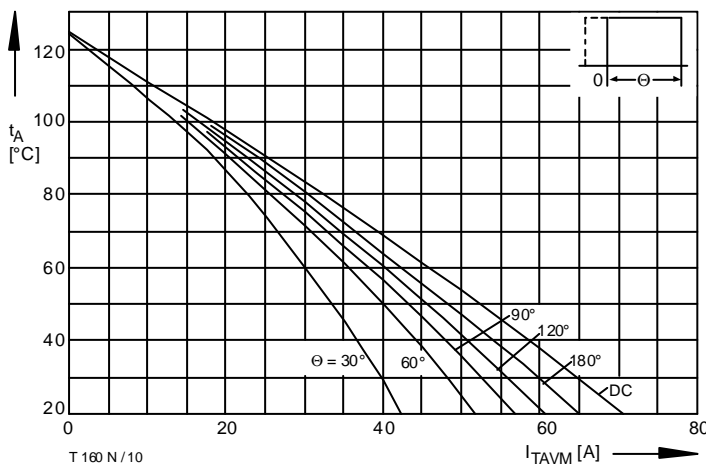


Bild / Fig. 10

Höchstzulässige Kühlmitteltemperatur / Max. allowable cooling medium temperature $t_A = f(I_{TAVM})$
Luftselbstkühlung / Natural air-cooling
Kühlkörper / Heatsink: K1.1-M12-A
Parameter: Stromflußwinkel / Current conduction angle θ

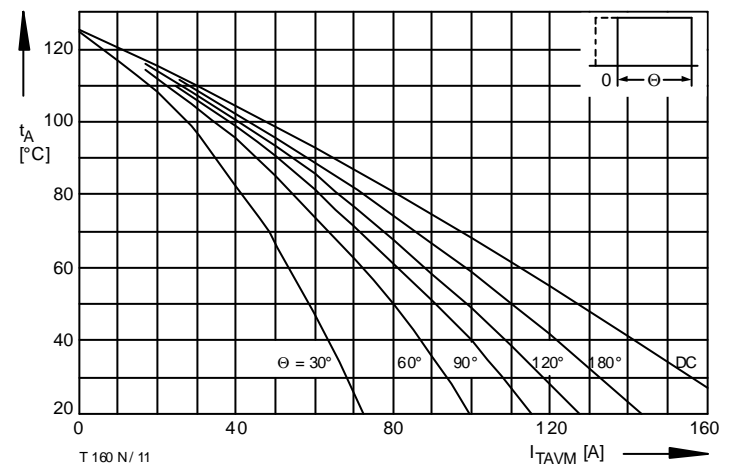


Bild / Fig. 11

Höchstzulässige Kühlmitteltemperatur / Max. allowable cooling medium temperature $t_A = f(I_{TAVM})$
Verstärkte Luftkühlung / forced air cooling
Kühlkörper / Heatsink: K1.1-M12-A, $V_L = 30$ l/s
Parameter: Stromflußwinkel / Current conduction angle θ

T 160 N

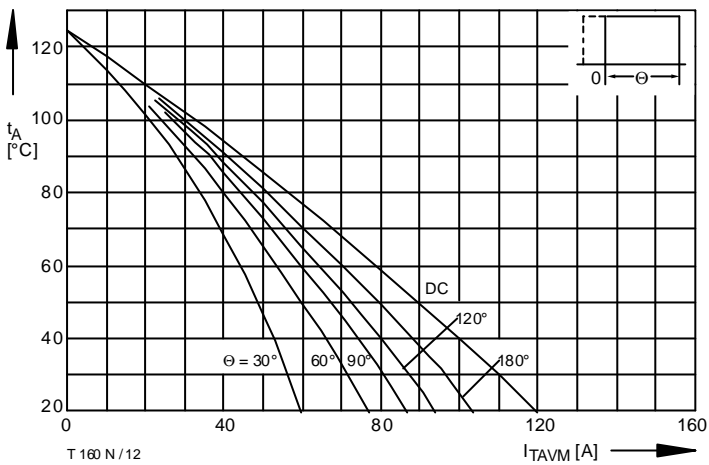


Bild / Fig. 12
Höchstzulässige Kühlmitteltemperatur / Max. allowable cooling medium
temperatur $t_A = f(I_{TAVM})$
Luftselbstkühlung / Natural air-cooling
Kühlkörper / Heatsink: K0.55-M12-A
Parameter: Stromflußwinkel / Current conduction angle θ

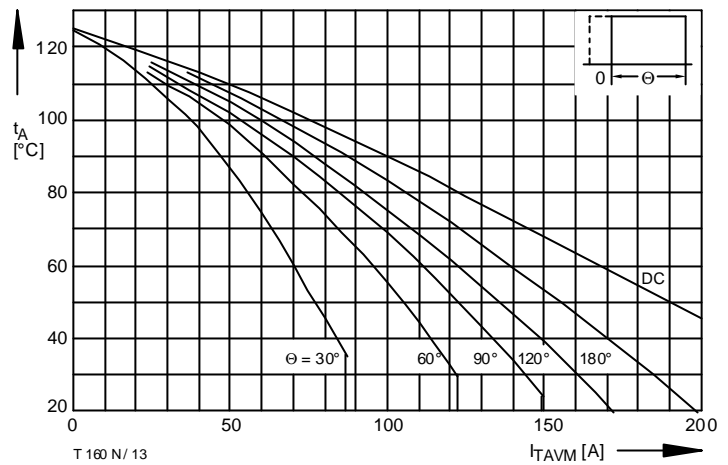


Bild / Fig. 13
Höchstzulässige Kühlmitteltemperatur / Max. allowable cooling medium
temperatur $t_A = f(I_{TAVM})$
Verstärkte Luftkühlung / Forced air-cooling,
Kühlkörper / Heatsink: K0.55-M12-A, $V_L = 50$ l/s
Parameter: Stromflußwinkel / Current conduction angle θ

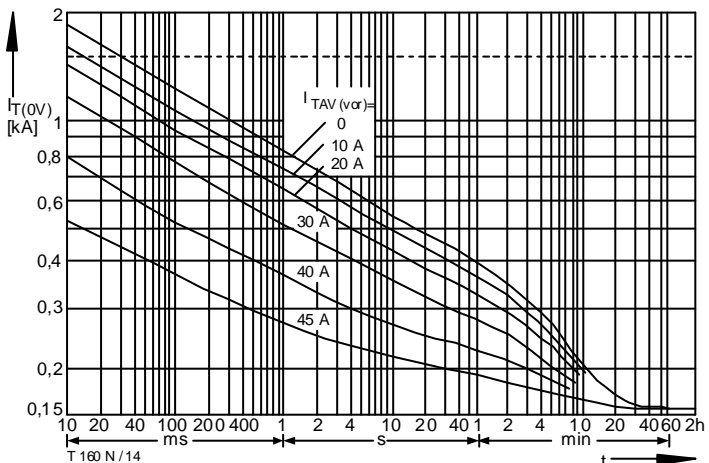


Bild / Fig. 14
Überstrom / Overload on-state current $I_{T(OV)} = f(t)$
Luftselbstkühlung / Natural air-cooling, $t_A = 45$ °C
Kühlkörper / Heatsink: K0.11-M12-A
Parameter: Vorlaststrom / Pre-load current $I_{TAV(vor)}$

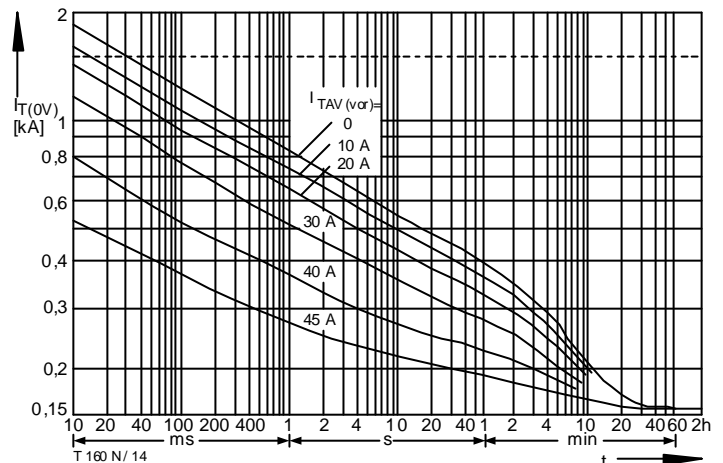


Bild / Fig. 15
Überstrom / Overload on-state current $I_{T(OV)} = f(t)$
Verstärkte Luftkühlung / Forced air-cooling, $t_A = 35$ °C
Kühlkörper / Heatsink: K0.11-M12-A, $V_L = 30$ l/s
Parameter: Vorlaststrom / Pre-load current $I_{TAV(vor)}$

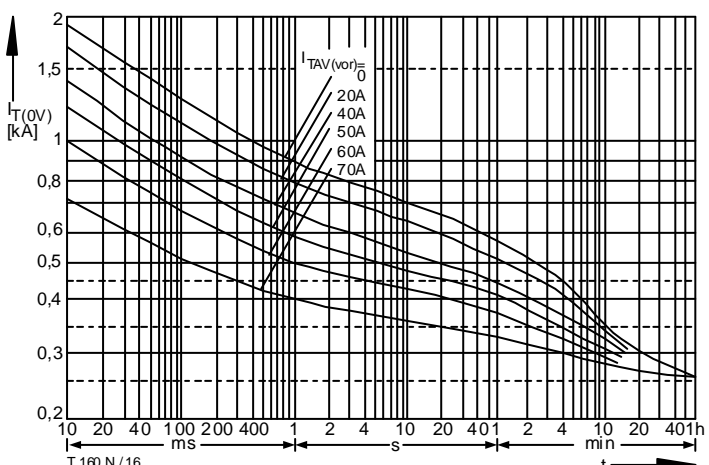


Bild / Fig. 16
Überstrom / Overload on-state current $I_{T(OV)} = f(t)$
Luftselbstkühlung / Natural air-cooling, $t_A = 45$ °C
Kühlkörper / Heatsink: K0.55-M12-A
Parameter: Vorlaststrom / Pre-load current $I_{TAV(vor)}$

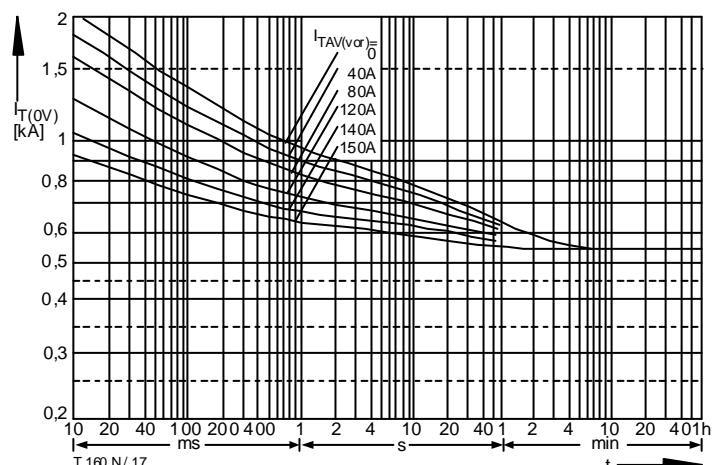


Bild / Fig. 15
Überstrom / Overload on-state current $I_{T(OV)} = f(t)$
Verstärkte Luftkühlung / Forced air-cooling, $t_A = 35$ °C
Kühlkörper / Heatsink: K0.55-M12-A, $V_L = 50$ l/s
Parameter: Vorlaststrom / Pre-load current $I_{TAV(vor)}$

T 160 N

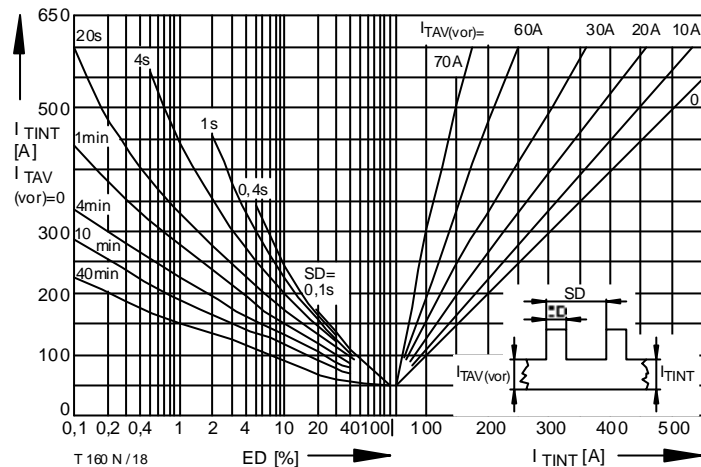


Bild / Fig. 18
Höchstzulässiger Durchlaßstrom bei Aussetzbetrieb / Max. allowable on-state current at intermittent operation $I_{TINT} = f(ED)$
Luftselbstkühlung / Natural air-cooling, $t_A = 45^\circ C$
Kühlkörper / Heatsink: K1.1-M12-A
Parameter: Spieldauer / Cycle duration SD
Vorlaststrom / Pre-load current $I_{TAV(vor)}$

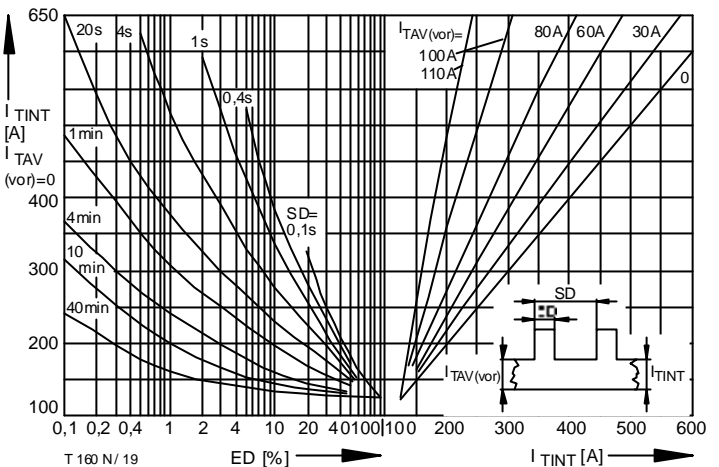


Bild / Fig. 19
Höchstzulässiger Durchlaßstrom bei Aussetzbetrieb / Max. allowable on-state current at intermittent operation $I_{TINT} = f(ED)$
Verstärkte Luftkühlung / Forced air-cooling, $t_A = 35^\circ C$, $V_L = 30 l/s$
Kühlkörper / Heatsink: K1.1-M12-A
Parameter: Spieldauer / Cycle duration SD
Vorlaststrom / Pre-load current $I_{TAV(vor)}$

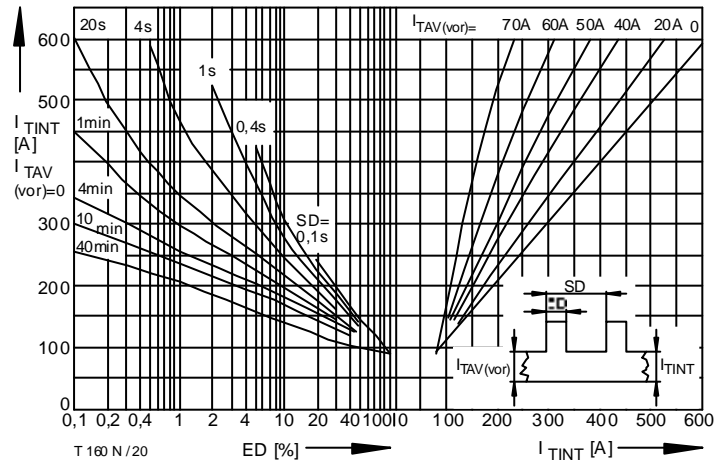


Bild / Fig. 20
Höchstzulässiger Durchlaßstrom bei Aussetzbetrieb / Max. allowable on-state current at intermittent operation $I_{TINT} = f(ED)$
Luftselbstkühlung / Natural air-cooling, $t_A = 45^\circ C$
Kühlkörper / Heatsink: K0.55-FB54-A
Parameter: Spieldauer / Cycle duration SD
Vorlaststrom / Pre-load current $I_{TAV(vor)}$

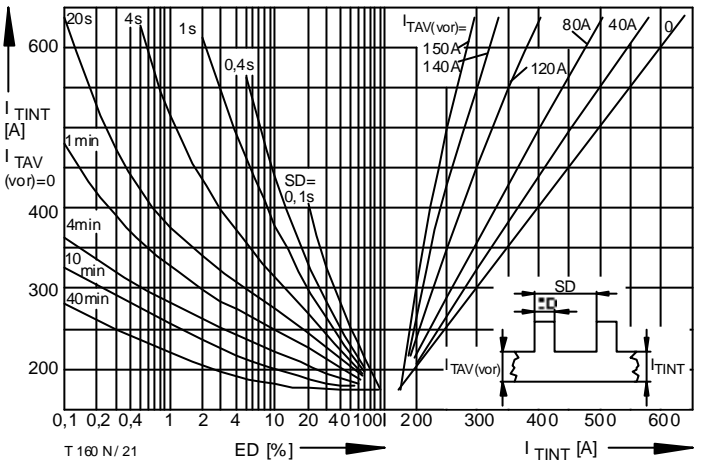


Bild / Fig. 21
Höchstzulässiger Durchlaßstrom bei Aussetzbetrieb / Max. allowable on-state current at intermittent operation $I_{TINT} = f(ED)$
Verstärkte Luftkühlung / Forced air-cooling, $t_A = 35^\circ C$, $V_L = 50 l/s$
Kühlkörper / Heatsink: K0.55-M12-A
Parameter: Spieldauer / Cycle duration SD
Vorlaststrom / Pre-load current $I_{TAV(vor)}$

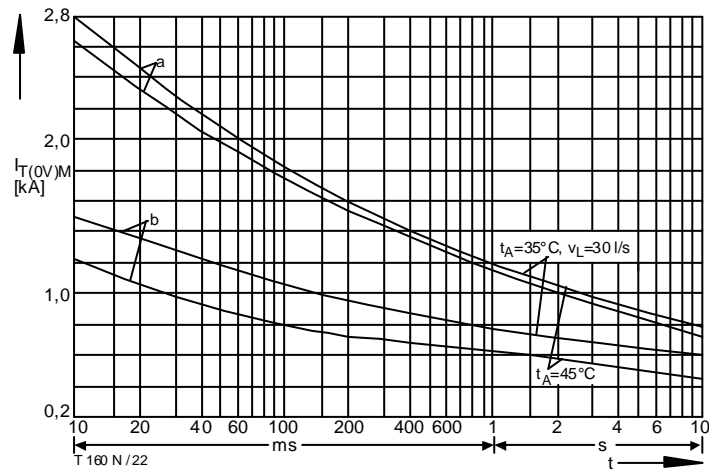


Bild / Fig. 22
Grenzstrom / Max. overload on-state current $I_{T(OV)M} = f(t)$, $V_{RM} = 0,8 V_{RRM}$
----- Luftselbstkühlung / Natural air-cooling, $t_A = 45^\circ C$
—— Verstärkte Luftkühlung / Forced air-cooling, $t_A = 35^\circ C$, $V_L = 30 l/s$
Kühlkörper / Heatsink: K1.1-M12-A
Belastung aus / Surge current occurs:
a - Leerlauf / No-load conditions
b - Betrieb mit Dauergrenzstrom / During operation at max. average on-state current I_{TAVM}

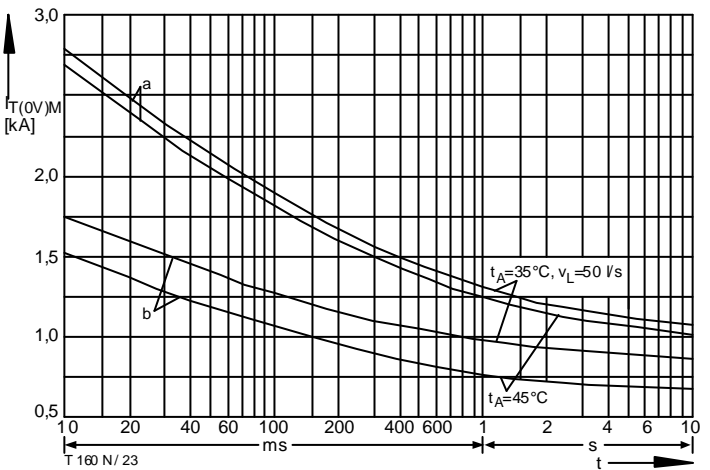


Bild / Fig. 23
Grenzstrom / Max. overload on-state current $I_{T(OV)M} = f(t)$, $V_{RM} = 0,8 V_{RRM}$
----- Luftselbstkühlung / Natural air-cooling, $t_A = 45^\circ C$
—— Verstärkte Luftkühlung / Forced air-cooling, $t_A = 35^\circ C$, $V_L = 50 l/s$
Kühlkörper / Heatsink: K0.55-FB54-A
Belastung aus / Surge current occurs:
a - Leerlauf / No-load conditions
b - Betrieb mit Dauergrenzstrom / During operation at max. average on-state current I_{TAVM}

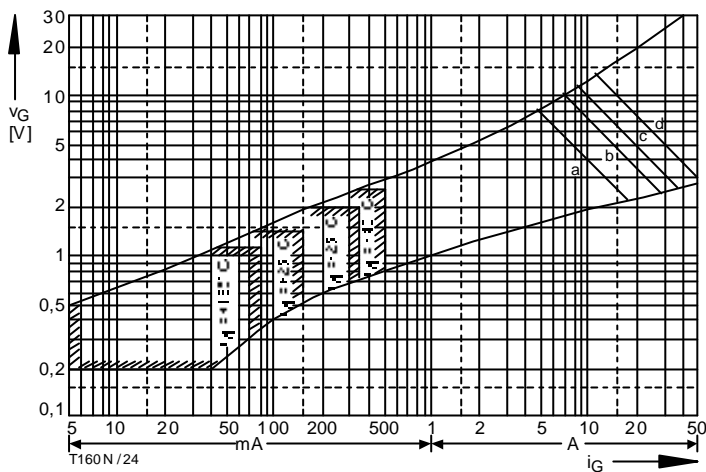


Bild / Fig. 24
Steuercharakteristik mit Zündbereichen / Gate characteristic with triggering areas $V_G = f(i_G)$, $V_D = 6 \text{ V}$
Parameter:
a b c d
Steuerimpulsdauer / trigger pulse duration t_g [ms] 10 1 0,5 0,1
Höchstzulässige Spitzensteuerverlustleistung /
Max. rated peak gate power dissipation [W] 40 80 100 150

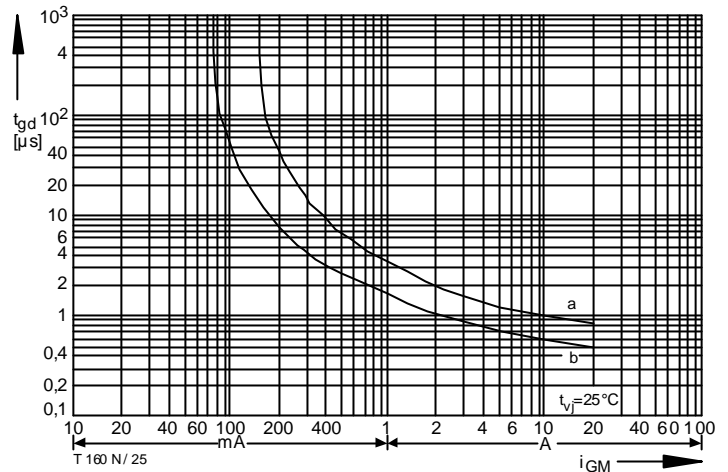


Bild / Fig. 25
Zündverzug / Gate controlled delay time $t_{gd} = f(i_{GM})$
 $t_{vj} = 25^\circ\text{C}$, $\frac{di_G}{dt} = i_{GM}/1\mu\text{s}$
a - Maximaler Verlauf / Limiting characteristic
b - Typischer Verlauf / Typical characteristic

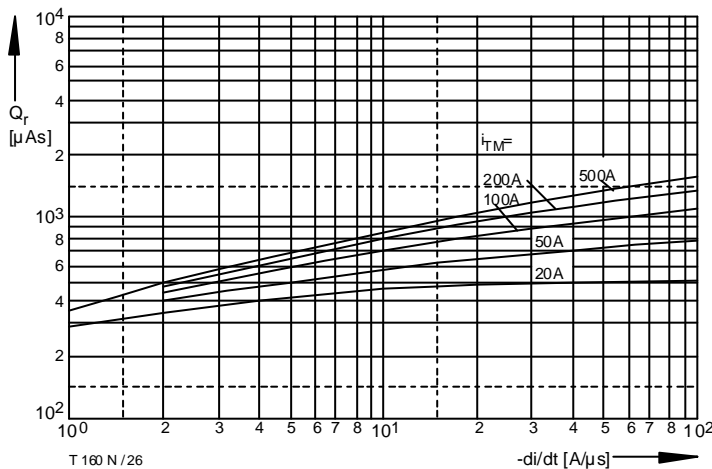
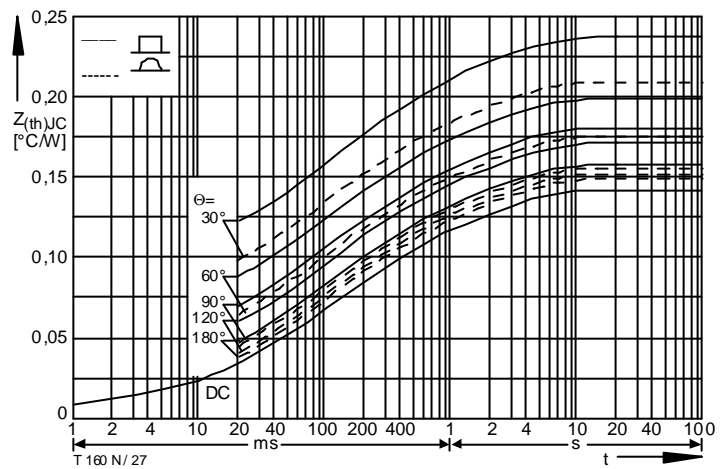


Bild / Fig. 26
Sperrverzögerung gelaadung / Recovered charge $Q_r = f(-di/dt)$
 $t_{vj} = t_{vj \text{ max}}$, $V_R = 0,5 \text{ V}_{RRM}$, $V_{RM} = 0,8 \text{ V}_{RRM}$
Parameter: Durchlaßstrom / On-state current i_{TM}



Analytische Elemente des transienten Wärmewiderstands Z_{thJC} pro Zweig für DC
Analytical elements of transient thermal impedance Z_{thJC} per arm for DC

Pos. n	1	2	3	4	5	6	7
$R_{thn} [\text{°C/W}]$	0,00832	0,0243	0,0373	0,037	0,0353		
$\tau_n [\text{s}]$	0,00089	0,0171	0,0905	0,413	2,16		

Analytische Funktion / Analytical function:

$$Z_{thJC} = \sum_{n=1}^{n_{\max}} R_{thn} (1 - e^{-\frac{t}{\tau_n}})$$